

島根原子力発電所 2号炉 審査資料	
資料番号	EP-066 改 57(1)(比)
提出年月日	令和3年3月8日

島根原子力発電所 2号炉

津波による損傷の防止

比較表

令和3年3月

中国電力株式会社

実線・・設備運用又は体制等の相違（設計方針の相違）
 波線・・記載表現、設備名称の相違（実質的な相違なし）

まとめ資料比較表 [第5条 津波による損傷の防止 別添1 添付資料21]

東海第二発電所（2018.9.12版）	女川原子力発電所 2号炉（2019.11.6版）	島根原子力発電所 2号炉	備考
<p style="text-align: right;">添付資料 29</p> <p>各種基準類における衝突荷重の算定式及び衝突荷重について</p> <p>1. はじめに 東海第二発電所において考慮する漂流物の衝突荷重の算定に当たり、既往の算定式について調査し、適用する算定式について検討すると共に、基準津波による津波シミュレーションから算定した津波流速に基づき、漂流物の衝突荷重を設定した。</p> <p>2. 基準類における衝突荷重算定式について 「耐津波設計に係る工認審査ガイド」において、記載されている参考規格・基準類のうち、漂流物の衝突荷重又は衝突エネルギーについて記載されているものは、「道路橋示方書・同解説 I 共通編（（社）日本道路協会、平成14年3月）」及び「津波漂流物対策設計ガイドライン（案）（財）沿岸技術研究センター、（社）寒地港湾技術研究センター（平成21年）」であり、それぞれ以下のように適用範囲・考え方、算定式を示している。</p> <p>2.1 道路橋示方書・同解説 I 共通編</p> <p>(1) 適用範囲・考え方 流木その他の流送物の衝突のおそれがある場合の衝突荷重を算定する式を示している。</p> <p>(2) 算定式 衝突力 $P = 0.1 \times W \times v$ ここで、P：衝突力（kN） W：流送物の重量（kN） v：表面流速（m/s）</p>	<p style="text-align: right;">添付資料 22</p> <p>基準類における衝突荷重算定式について</p> <p>1. はじめに 女川原子力発電所において考慮する漂流物の衝突荷重の算定に当たり、既往の算定式について調査し、適用する算定式について検討した。</p> <p>2. 基準類における衝突荷重算定式について 「耐津波設計に係る工認審査ガイド」において、記載されている参考規格・基準類のうち、漂流物の衝突荷重又は衝突エネルギーについて記載されているものは、「道路橋示方書・同解説 I 共通編（（社）日本道路協会、平成14年3月）」及び「津波漂流物対策設計ガイドライン（案）（財）沿岸技術研究センター、（社）寒地港湾技術研究センター（平成21年）」であり、それぞれ以下のように適用範囲・考え方、算定式を示している。</p> <p>(1) 道路橋示方書・同解説 I 共通編</p> <p>a. 適用範囲・考え方 流木その他の流送物の衝突のおそれがある場合の衝突荷重を算定する式を示している。</p> <p>b. 算定式 衝突力 $P = 0.1 \times W \times v$ ここで、P：衝突力（kN） W：流送物の重量（kN） v：表面流速（m/s） <u>これは、衝突荷重として、基準に示される唯一の算定式である。</u></p>	<p style="text-align: right;">添付資料 21</p> <p>基準類における衝突荷重算定式及び衝突荷重について</p> <p>1. はじめに <u>島根原子力発電所において考慮する漂流物の衝突荷重の算定に当たり、島根原子力発電所における基準津波の津波特性を平面二次元津波シミュレーションより確認し、「2.5.2(3) 基準津波に伴う取水口付近の漂流物に対する取水性確保」に示す取水口に対する漂流物の影響の評価プロセスより、漂流物衝突荷重の設定に考慮する漂流物を抽出するとともに、既往の衝突荷重の算定式とその根拠について整理した。</u></p> <p>2. 基準類における衝突荷重算定式について 耐津波設計に係る工認審査ガイドにおいて挙げられている参考規格・基準類のうち、漂流物の衝突荷重又は衝突エネルギーについて記載されているものは、「道路橋示方書・同解説 I 共通編（平成14年3月）」と「津波漂流物対策設計ガイドライン（平成26年）」であり、それぞれ以下のように適用範囲・考え方、算定式を示している。</p> <p>①道路橋示方書・同解説 I 共通編（（社）日本道路協会、平成14年3月）</p> <p>○適用範囲・考え方： <u>橋（橋脚）に自動車、流木あるいは船舶等が衝突する場合の衝突荷重を算定する式である。</u></p> <p>○算定式： 衝突力 $P = 0.1 \times W \times v$ ここに、P：衝突力（kN） W：流送物の重量（kN） v：表面流速（m/s）</p>	<p>・検討方針の相違による記載内容の相違 【東海第二、女川2】</p>

東海第二発電所 (2018.9.12 版)	女川原子力発電所 2号炉 (2019.11.6 版)	島根原子力発電所 2号炉	備考
<p>2.2 津波漂流物対策設計ガイドライン (案)</p> <p>(1) 適用範囲・考え方 「漁港・漁場の施設の設計の手引き(全国漁港漁場協会 2003 年版)」の接岸エネルギーの算定方法に準じて設定されたもので、漁船のほか、車両、流木、コンテナにも適用される。支柱及び漂流物捕捉スクリーンの変形でエネルギーを吸収させることにより、漂流物の侵入を防ぐための津波漂流物対策施設の設計に適用される式を示している。</p> <p>(2) 算定式 船舶の衝突エネルギー $E = E_0 = W \times v^2 / 2g$ ※船の回転により衝突エネルギーが消費される (1/4 点衝突) の場合： $E = E' = W \times v^2 / 4g$ ここで、$W = W_0 + W' = W_0 + (\pi/4) \times D^2 L \gamma_w$ W：仮想重量 (kN) W₀：排水トン数 (kN) W'：付加重量 (kN) D：喫水 (m) L：横付けの場合は船の長さ、縦付けの場合は船の幅 (m) γ_w：海水の単位体積重量 (kN/m³)</p> <p>3. 漂流物の衝突荷重算定式の適用事例 安藤ら (2006) ^{*1}によれば、南海地震津波による被害を想定して、高知港を対象に平面二次元津波シミュレーション結果に基づいた被害予測手法の検討を行い、特に漂流物の衝突による構造物の被害、道路交通網等アクセス手段の途絶について検討を行い、港湾全体における脆弱性評価手法を検討している。この中で、荷役設備・海岸施設の漂流物による被害を検討するに当たって、漂流物の衝突力を算定しており、船舶については道路橋示方書による式を選定している (下表参照)。 ※1：地震津波に関する脆弱性評価手法の検討，沿岸技術研究センター論文集 No.6 (2006)</p>	<p>(2) 津波漂流物対策施設設計ガイドライン (案)</p> <p>a. 適用範囲・考え方 「漁港・漁場の施設の設計の手引き (全国漁港漁場協会 2003 年版)」の接岸エネルギーの算定方法に準じて設定されたもので、漁船のほか、車両、流木、コンテナにも適用される。支柱及び漂流物捕捉スクリーンの変形でエネルギーを吸収させることにより、漂流物の侵入を防ぐための津波漂流物対策施設の設計に適用される式を示している。</p> <p>b. 算定式 船舶の衝突エネルギー $E = E_0 = W \times v^2 / 2g$ ※船の回転により衝突エネルギーが消費される (1/4 点衝突) の場合： $E = E' = W \times v^2 / 4g$ ここで、$W = W_0 + W' = W_0 + (\pi/4) \times D^2 L \gamma_w$ W：仮想重量 (kN) W₀：排水トン数 (kN) W'：付加重量 (kN) D：喫水 (m) L：横付けの場合は船の長さ、縦付けの場合は船の幅 (m) γ_w：海水の単位体積重量 (kN/m³) これは、鋼管杭等の支柱の変形及びワイヤーロープの伸びにより衝突エネルギーを吸収する考え方であり、弾性設計には適さないものである。</p> <p>3. 漂流物の衝突荷重算定式の適用事例 安藤ら (2006) [*]によれば、南海地震津波による被害を想定して、高知港を対象に平面二次元津波シミュレーション結果に基づいた被害予測手法の検討を行い、特に漂流物の衝突による構造物の被害、道路交通網等アクセス手段の途絶について検討を行い、港湾全体における脆弱性評価手法を検討している。この中で、荷役設備・海岸施設の漂流物による被害を検討するに当たって、漂流物の衝突力を算定しており、船舶については道路橋示方書による式を選定している (表 1 参照)。 ※：地震津波に関する脆弱性評価手法の検討，沿岸技術研究センター論文集 No.6 (2006)</p>	<p>②津波漂流物対策施設設計ガイドライン (沿岸技術研究センター、寒地研究センター、平成 26 年)</p> <p>○適用範囲・考え方： 「漁港・漁場の施設の設計の手引き (全国漁港漁場協会 2003 年版)」の接岸エネルギーの算定方法に準じて設定されたものであり、漁船の他、車両・流木・コンテナにも適用されるが、支柱及び漂流物捕捉スクリーンの変形でエネルギーを吸収させることにより漂流物の進入を防ぐための津波漂流物対策施設の設計に適用される式である。</p> <p>○算定式： 船舶の衝突エネルギー $E = E_0 = W \times V^2 / (2g)$ (船の回転により衝突エネルギーが消費される (1/4 点衝突) 場合 $E = E' = W \times V^2 / (4g)$ ここに、$W = W_0 + W' = W_0 + (\pi/4) \times (D^2 L \gamma_w)$ W：仮想重量 (kN) W₀：排水トン数 (kN) W'：付加重量 (kN) D：喫水 (m) L：横付けの場合は船の長さ、縦付けの場合は船の幅 (m) γ_w：海水の単位体積重量 (kN/m³) <u>これは、鋼管杭等の支柱の変形及びワイヤーロープの伸びにより衝突エネルギーを吸収する考え方であり、弾性設計には適さないものである。</u></p> <p>3. 漂流物の衝突荷重算定式の適用事例 安藤ら (2006) ^{*1}によれば、南海地震津波による被害を想定して高知港を対象に、平面二次元津波数値シミュレーション結果に基づいた被害予測手法の検討を行い、特に漂流物の衝突による構造物の被害、道路交通網等アクセス手段の途絶について検討を行い、港湾全体における脆弱性評価手法を検討している。この中で荷役設備・海岸施設の漂流物による被害を検討するに当たって、漂流物の衝突力を算定しており、船舶に対しては道路橋示方書を採用している。 ※1 地震津波に関する脆弱性評価手法の検討，沿岸技術研究センター論文集，No.6 (2006)</p>	

東海第二発電所 (2018.9.12版)	女川原子力発電所 2号炉 (2019.11.6版)	島根原子力発電所 2号炉	備考																
<p>漂流物による衝突力評価式に関する既往の研究論文 (1/2)</p> <table border="1"> <thead> <tr> <th>既往の評価式</th> <th>内 容</th> </tr> </thead> <tbody> <tr> <td>(a) 松富の評価式</td> <td> <p>松富[1]は、津波による流木の衝突力を次式の通り提案している。本式は、円柱形状の流木が縦向きに衝突する場合の衝突力評価式である。</p> $\frac{F_m}{\gamma D^2 L} = 1.6 C_{MA} \left\{ \frac{v_{A0}}{(gD)^{0.5}} \right\}^{1.2} \left(\frac{\sigma_f}{\gamma L} \right)^{0.4}$ <p>ここで、F_m：衝突力 C_{MA}：見かけの質量係数（段波、サージでは1.7、定常流では1.9） v_{A0}：流木の衝突速度 D：流木の直径 L：流木の長さ σ_f：流木の降伏応力 γ：流木の単位体積重量 g：重力加速度</p> </td> </tr> <tr> <td>(b) 池野らの評価式</td> <td> <p>池野ら[2]は、円柱以外にも角柱、球の形状をした木材による衝突力を次式の通り提案している。</p> $\frac{F_H}{gM} = S \cdot C_{MA} \left\{ \frac{V_H}{(g^{0.5} D^{0.25} L^{0.25})} \right\}^{2.5}$ <p>ここで、F_H：漂流物の衝突力 S：係数（5.0） C_{MA}：付加質量係数（円柱横向き：2.0（2次元）、1.5（3次元）、角柱横向き：2.0～4.0（2次元）、1.5（3次元）、円柱縦向き：2.0程度、球：0.8程度） V_H：段波波速 D：漂流物の代表高さ L：漂流物の代表長さ M：漂流物の質量 g：重力加速度</p> </td> </tr> <tr> <td>(c) 水谷らの評価式</td> <td> <p>水谷ら[3]は、津波により漂流するコンテナの衝突力を次式の通り提案している。</p> $F_m = 2\rho_w \eta_m B_c V_x^2 + \frac{WV_x}{gdt}$ <p>ここで、F_m：漂流衝突力 dt：衝突時間 m：最大遡上水位 w：水の密度 B_c：コンテナ幅 V_x：コンテナの漂流速度 W：コンテナ重量 g：重力加速度</p> </td> </tr> </tbody> </table>	既往の評価式	内 容	(a) 松富の評価式	<p>松富[1]は、津波による流木の衝突力を次式の通り提案している。本式は、円柱形状の流木が縦向きに衝突する場合の衝突力評価式である。</p> $\frac{F_m}{\gamma D^2 L} = 1.6 C_{MA} \left\{ \frac{v_{A0}}{(gD)^{0.5}} \right\}^{1.2} \left(\frac{\sigma_f}{\gamma L} \right)^{0.4}$ <p>ここで、F_m：衝突力 C_{MA}：見かけの質量係数（段波、サージでは1.7、定常流では1.9） v_{A0}：流木の衝突速度 D：流木の直径 L：流木の長さ σ_f：流木の降伏応力 γ：流木の単位体積重量 g：重力加速度</p>	(b) 池野らの評価式	<p>池野ら[2]は、円柱以外にも角柱、球の形状をした木材による衝突力を次式の通り提案している。</p> $\frac{F_H}{gM} = S \cdot C_{MA} \left\{ \frac{V_H}{(g^{0.5} D^{0.25} L^{0.25})} \right\}^{2.5}$ <p>ここで、F_H：漂流物の衝突力 S：係数（5.0） C_{MA}：付加質量係数（円柱横向き：2.0（2次元）、1.5（3次元）、角柱横向き：2.0～4.0（2次元）、1.5（3次元）、円柱縦向き：2.0程度、球：0.8程度） V_H：段波波速 D：漂流物の代表高さ L：漂流物の代表長さ M：漂流物の質量 g：重力加速度</p>	(c) 水谷らの評価式	<p>水谷ら[3]は、津波により漂流するコンテナの衝突力を次式の通り提案している。</p> $F_m = 2\rho_w \eta_m B_c V_x^2 + \frac{WV_x}{gdt}$ <p>ここで、F_m：漂流衝突力 dt：衝突時間 m：最大遡上水位 w：水の密度 B_c：コンテナ幅 V_x：コンテナの漂流速度 W：コンテナ重量 g：重力加速度</p>	<p>表2(1) 漂流物による衝突力評価式に関する既往の研究論文 (1/2)</p> <table border="1"> <thead> <tr> <th>既往の評価式</th> <th>内 容</th> </tr> </thead> <tbody> <tr> <td>(a) 松富の評価式</td> <td> <p>松富[1]は、津波による流木の衝突力を次式のとおり提案している。本式は、円柱形状の流木が縦向きに衝突する場合の衝突力評価式である。</p> $\frac{F_m}{\gamma D^2 L} = 1.6 C_{MA} \left\{ \frac{v_{A0}}{(gD)^{0.5}} \right\}^{1.2} \left(\frac{\sigma_f}{\gamma L} \right)^{0.4}$ <p>ここで、F_m：衝突力 C_{MA}：見かけの質量係数（段波、サージでは1.7、定常流では1.9） v_{A0}：流木の衝突速度 D：流木の直径 L：流木の長さ σ_f：流木の降伏応力 γ：流木の単位体積重量 g：重力加速度</p> <p>被衝突体を縦スリット型の受圧壁とし、津波の遡上を許容しつつ流木の浸入を防ぐことを想定している。</p> </td> </tr> <tr> <td>(b) 池野らの評価式</td> <td> <p>池野ら[2]は、円柱以外にも角柱、球の形状をした木材による衝突力を次式のとおり提案している。</p> $\frac{F_H}{gM} = S \cdot C_{MA} \left\{ \frac{V_H}{(g^{0.5} D^{0.25} L^{0.25})} \right\}^{2.5}$ <p>ここで、F_H：漂流物の衝突力 S：係数（5.0） C_{MA}：付加質量係数（円柱横向き：2.0（2次元）、1.5（3次元）、角柱横向き：2.0～4.0（2次元）、1.5（3次元）、円柱縦向き：2.0程度、球：0.8程度） V_H：段波波速 D：漂流物の代表高さ L：漂流物の代表長さ M：漂流物の質量 g：重力加速度</p> <p>各種形状の漂流物（横向きと縦向き配置の円柱と角柱及び球）の衝突について、付加質量係数を変化させて検証しているが、船舶の形状までは検証されていない。</p> </td> </tr> <tr> <td>(c) 水谷らの評価式</td> <td> <p>水谷ら[3]は、津波により漂流するコンテナの衝突力を次式のとおり提案している。</p> $F_m = 2\rho_w \eta_m B_c V_x^2 + \frac{WV_x}{gdt}$ <p>ここで、F_m：漂流衝突力 dt：衝突時間 m：最大遡上水位 w：水の密度 B_c：コンテナ幅 V_x：コンテナの漂流速度 W：コンテナ重量 g：重力加速度</p> <p>陸上に設置されたコンテナにより堰き止められる水塊の重量（付加質量）に基づき衝突力を評価している。</p> </td> </tr> </tbody> </table>	既往の評価式	内 容	(a) 松富の評価式	<p>松富[1]は、津波による流木の衝突力を次式のとおり提案している。本式は、円柱形状の流木が縦向きに衝突する場合の衝突力評価式である。</p> $\frac{F_m}{\gamma D^2 L} = 1.6 C_{MA} \left\{ \frac{v_{A0}}{(gD)^{0.5}} \right\}^{1.2} \left(\frac{\sigma_f}{\gamma L} \right)^{0.4}$ <p>ここで、F_m：衝突力 C_{MA}：見かけの質量係数（段波、サージでは1.7、定常流では1.9） v_{A0}：流木の衝突速度 D：流木の直径 L：流木の長さ σ_f：流木の降伏応力 γ：流木の単位体積重量 g：重力加速度</p> <p>被衝突体を縦スリット型の受圧壁とし、津波の遡上を許容しつつ流木の浸入を防ぐことを想定している。</p>	(b) 池野らの評価式	<p>池野ら[2]は、円柱以外にも角柱、球の形状をした木材による衝突力を次式のとおり提案している。</p> $\frac{F_H}{gM} = S \cdot C_{MA} \left\{ \frac{V_H}{(g^{0.5} D^{0.25} L^{0.25})} \right\}^{2.5}$ <p>ここで、F_H：漂流物の衝突力 S：係数（5.0） C_{MA}：付加質量係数（円柱横向き：2.0（2次元）、1.5（3次元）、角柱横向き：2.0～4.0（2次元）、1.5（3次元）、円柱縦向き：2.0程度、球：0.8程度） V_H：段波波速 D：漂流物の代表高さ L：漂流物の代表長さ M：漂流物の質量 g：重力加速度</p> <p>各種形状の漂流物（横向きと縦向き配置の円柱と角柱及び球）の衝突について、付加質量係数を変化させて検証しているが、船舶の形状までは検証されていない。</p>	(c) 水谷らの評価式	<p>水谷ら[3]は、津波により漂流するコンテナの衝突力を次式のとおり提案している。</p> $F_m = 2\rho_w \eta_m B_c V_x^2 + \frac{WV_x}{gdt}$ <p>ここで、F_m：漂流衝突力 dt：衝突時間 m：最大遡上水位 w：水の密度 B_c：コンテナ幅 V_x：コンテナの漂流速度 W：コンテナ重量 g：重力加速度</p> <p>陸上に設置されたコンテナにより堰き止められる水塊の重量（付加質量）に基づき衝突力を評価している。</p>	<p>○算定式(a)：</p> <p>(a) 松富の評価式^{※2}</p> <p>津波による円柱形上の流木が縦向きに衝突する場合の衝突力を次式のとおり提案している。</p> $F_m = 1.6 \cdot C_{MA} \cdot \left\{ \frac{v_{A0}}{(gD)^{0.5}} \right\}^{1.2} \cdot \left(\frac{\sigma_f}{\gamma L} \right)^{0.4} \cdot (\gamma D^2 L)$ <p>ここに、C_{MA}：見かけの質量係数 （段波・サージでは1.7、定常流では1.9）</p> <p>v_{A0}：流木の衝突速度 D：流木の直径 L：流木の長さ σ_f：流木の降伏応力 γ：流木の単位体積重量 g：重力加速度</p> <p>※2 松富英夫(1999) 流木衝突力の実用的な評価式と変化特性、土木学会論文集, No621, pp. 111-127</p> <p>○算定式(b)：</p> <p>(b) 池野らの評価式^{※3}</p> <p>円柱以外にも角柱、球の形状をした木材による衝突力を次式のとおり提案している。</p> $F_H = S \cdot C_{MA} \cdot \left\{ \frac{V_H}{(g^{0.5} D^{0.25} L^{0.25})} \right\}^{2.5} \cdot (gM)$ <p>ここに、F_H：漂流物の衝突力 (kN) S：係数（5.0） C_{MA}：見かけの質量係数 （円柱横向き：2.0（2次元）、1.5（3次元）、角柱横向き：2.0～4.0（2次元）、1.5（3次元）、円柱縦向き：2.0程度、球：0.8程度） V_H：漂流物移動速度 (m/s) D：漂流物の代表高さ (m) L：漂流物の代表長さ (m) M：漂流物の質量 (t) g：重力加速度</p> <p>※3 池野正明・田中寛好(2003) 陸上遡上波と漂流物の衝突力に関する実験的研究、海岸工学論文集, 第50巻, pp. 721-725</p>	
既往の評価式	内 容																		
(a) 松富の評価式	<p>松富[1]は、津波による流木の衝突力を次式の通り提案している。本式は、円柱形状の流木が縦向きに衝突する場合の衝突力評価式である。</p> $\frac{F_m}{\gamma D^2 L} = 1.6 C_{MA} \left\{ \frac{v_{A0}}{(gD)^{0.5}} \right\}^{1.2} \left(\frac{\sigma_f}{\gamma L} \right)^{0.4}$ <p>ここで、F_m：衝突力 C_{MA}：見かけの質量係数（段波、サージでは1.7、定常流では1.9） v_{A0}：流木の衝突速度 D：流木の直径 L：流木の長さ σ_f：流木の降伏応力 γ：流木の単位体積重量 g：重力加速度</p>																		
(b) 池野らの評価式	<p>池野ら[2]は、円柱以外にも角柱、球の形状をした木材による衝突力を次式の通り提案している。</p> $\frac{F_H}{gM} = S \cdot C_{MA} \left\{ \frac{V_H}{(g^{0.5} D^{0.25} L^{0.25})} \right\}^{2.5}$ <p>ここで、F_H：漂流物の衝突力 S：係数（5.0） C_{MA}：付加質量係数（円柱横向き：2.0（2次元）、1.5（3次元）、角柱横向き：2.0～4.0（2次元）、1.5（3次元）、円柱縦向き：2.0程度、球：0.8程度） V_H：段波波速 D：漂流物の代表高さ L：漂流物の代表長さ M：漂流物の質量 g：重力加速度</p>																		
(c) 水谷らの評価式	<p>水谷ら[3]は、津波により漂流するコンテナの衝突力を次式の通り提案している。</p> $F_m = 2\rho_w \eta_m B_c V_x^2 + \frac{WV_x}{gdt}$ <p>ここで、F_m：漂流衝突力 dt：衝突時間 m：最大遡上水位 w：水の密度 B_c：コンテナ幅 V_x：コンテナの漂流速度 W：コンテナ重量 g：重力加速度</p>																		
既往の評価式	内 容																		
(a) 松富の評価式	<p>松富[1]は、津波による流木の衝突力を次式のとおり提案している。本式は、円柱形状の流木が縦向きに衝突する場合の衝突力評価式である。</p> $\frac{F_m}{\gamma D^2 L} = 1.6 C_{MA} \left\{ \frac{v_{A0}}{(gD)^{0.5}} \right\}^{1.2} \left(\frac{\sigma_f}{\gamma L} \right)^{0.4}$ <p>ここで、F_m：衝突力 C_{MA}：見かけの質量係数（段波、サージでは1.7、定常流では1.9） v_{A0}：流木の衝突速度 D：流木の直径 L：流木の長さ σ_f：流木の降伏応力 γ：流木の単位体積重量 g：重力加速度</p> <p>被衝突体を縦スリット型の受圧壁とし、津波の遡上を許容しつつ流木の浸入を防ぐことを想定している。</p>																		
(b) 池野らの評価式	<p>池野ら[2]は、円柱以外にも角柱、球の形状をした木材による衝突力を次式のとおり提案している。</p> $\frac{F_H}{gM} = S \cdot C_{MA} \left\{ \frac{V_H}{(g^{0.5} D^{0.25} L^{0.25})} \right\}^{2.5}$ <p>ここで、F_H：漂流物の衝突力 S：係数（5.0） C_{MA}：付加質量係数（円柱横向き：2.0（2次元）、1.5（3次元）、角柱横向き：2.0～4.0（2次元）、1.5（3次元）、円柱縦向き：2.0程度、球：0.8程度） V_H：段波波速 D：漂流物の代表高さ L：漂流物の代表長さ M：漂流物の質量 g：重力加速度</p> <p>各種形状の漂流物（横向きと縦向き配置の円柱と角柱及び球）の衝突について、付加質量係数を変化させて検証しているが、船舶の形状までは検証されていない。</p>																		
(c) 水谷らの評価式	<p>水谷ら[3]は、津波により漂流するコンテナの衝突力を次式のとおり提案している。</p> $F_m = 2\rho_w \eta_m B_c V_x^2 + \frac{WV_x}{gdt}$ <p>ここで、F_m：漂流衝突力 dt：衝突時間 m：最大遡上水位 w：水の密度 B_c：コンテナ幅 V_x：コンテナの漂流速度 W：コンテナ重量 g：重力加速度</p> <p>陸上に設置されたコンテナにより堰き止められる水塊の重量（付加質量）に基づき衝突力を評価している。</p>																		

漂流物による衝突力評価式に関する既往の研究論文 (2/2)

既往の評価式	内 容															
(d) 有川らの評価式	有川ら[4]は、コンクリート構造物に鋼製構造物(コンテナ等)が漂流衝突する際の衝突力を次式の通り提案している。 $F = \gamma_p \chi^{2/5} \left(\frac{5}{4} \bar{m} \right)^{3/5} v^{6/5}$ $\chi = \frac{4\sqrt{a}}{3\pi} \frac{1}{k_1 + k_2}, \quad k = \frac{1-v^2}{\pi E}, \quad \bar{m} = \frac{m_1 m_2}{m_1 + m_2}$															
[4] 有川太郎ら：遡上津波によるコンテナ漂流力に関する大規模実験。海岸工学論文集，第54巻，pp. 846-850, 2007																
[5] 有川太郎ら：津波による漂流木のコンクリート壁面破壊に関する大規模実験。土木学会論文集B2, Vol. 66, No. 1, pp. 781-785, 2010																
(e) FEMA の評価式	FEMA P646[6]では、漂流物による衝突力を正確に評価するのは困難としながら、以下の式を一例として示している。 $F_i = C_m u_{max} \sqrt{km}$ <p>ここで、F_i：衝突力 C_m：付加質量係数 (2.0 を推奨) u_{max}：最大流速 m：漂流物の質量 k：漂流物の有効剛性 漂流物の質量・有効剛性は主要な漂流物について表3.1の通り概略値が与えられているが、それ以外の漂流物については設計において評価することとなっている。</p> <table border="1"> <caption>表 3.1 漂流物の質量と有効剛性</caption> <thead> <tr> <th>漂流物</th> <th>質量 m [kg]</th> <th>有効剛性 k [N/m]</th> </tr> </thead> <tbody> <tr> <td>材木・丸太</td> <td>450</td> <td>2.4×10^9</td> </tr> <tr> <td>40ft コンテナ</td> <td>3,800 (空載)</td> <td>6.5×10^8</td> </tr> <tr> <td>20ft コンテナ</td> <td>2,200 (空載)</td> <td>1.5×10^9</td> </tr> <tr> <td>20ft 重量コンテナ</td> <td>2,400 (空載)</td> <td>1.7×10^9</td> </tr> </tbody> </table>	漂流物	質量 m [kg]	有効剛性 k [N/m]	材木・丸太	450	2.4×10^9	40ft コンテナ	3,800 (空載)	6.5×10^8	20ft コンテナ	2,200 (空載)	1.5×10^9	20ft 重量コンテナ	2,400 (空載)	1.7×10^9
漂流物	質量 m [kg]	有効剛性 k [N/m]														
材木・丸太	450	2.4×10^9														
40ft コンテナ	3,800 (空載)	6.5×10^8														
20ft コンテナ	2,200 (空載)	1.5×10^9														
20ft 重量コンテナ	2,400 (空載)	1.7×10^9														
[6] FEMA, Guidelines for Design of Structures for Vertical Evacuation From Tsunamis, FEMA P646.																

表 2 (2) 漂流物による衝突力評価式に関する既往の研究論文 (2/2)

既往の評価式	内 容															
(d) 有川らの評価式	有川ら[4]は、コンクリート構造物に鋼製構造物(コンテナ等)が漂流衝突する際の衝突力を次式の通り提案している。 $F = \gamma_p \chi^{2/5} \left(\frac{5}{4} \bar{m} \right)^{3/5} v^{6/5}$ $\chi = \frac{4\sqrt{a}}{3\pi} \frac{1}{k_1 + k_2}, \quad k = \frac{1-v^2}{\pi E}, \quad \bar{m} = \frac{m_1 m_2}{m_1 + m_2}$															
[4] 有川太郎ら：遡上津波によるコンテナ漂流力に関する大規模実験。海岸工学論文集，第54巻，pp. 846-850, 2007																
[5] 有川太郎ら：津波による漂流木のコンクリート壁面破壊に関する大規模実験。土木学会論文集B2, Vol. 66, No. 1, pp. 781-785, 2010																
(e) FEMA の評価式	FEMA P646[6]では、漂流物による衝突力を正確に評価するのは困難としながら、以下の式を一例として示している。 $F_i = C_m u_{max} \sqrt{km}$ <p>ここで、F_i：衝突力 C_m：付加質量係数 (2.0 を推奨) u_{max}：最大流速 m：漂流物の質量 k：漂流物の有効剛性 漂流物の質量・有効剛性は主要な漂流物について表3.1の通り概略値が与えられているが、それ以外の漂流物については設計において評価することとなっている。</p> <table border="1"> <caption>表 3.1 漂流物の質量と有効剛性</caption> <thead> <tr> <th>漂流物</th> <th>質量 m [kg]</th> <th>有効剛性 k [N/m]</th> </tr> </thead> <tbody> <tr> <td>材木・丸太</td> <td>450</td> <td>2.4×10^9</td> </tr> <tr> <td>40ft コンテナ</td> <td>3,800 (空載)</td> <td>6.5×10^8</td> </tr> <tr> <td>20ft コンテナ</td> <td>2,200 (空載)</td> <td>1.5×10^9</td> </tr> <tr> <td>20ft 重量コンテナ</td> <td>2,400 (空載)</td> <td>1.7×10^9</td> </tr> </tbody> </table>	漂流物	質量 m [kg]	有効剛性 k [N/m]	材木・丸太	450	2.4×10^9	40ft コンテナ	3,800 (空載)	6.5×10^8	20ft コンテナ	2,200 (空載)	1.5×10^9	20ft 重量コンテナ	2,400 (空載)	1.7×10^9
漂流物	質量 m [kg]	有効剛性 k [N/m]														
材木・丸太	450	2.4×10^9														
40ft コンテナ	3,800 (空載)	6.5×10^8														
20ft コンテナ	2,200 (空載)	1.5×10^9														
20ft 重量コンテナ	2,400 (空載)	1.7×10^9														
[6] FEMA, Guidelines for Design of Structures for Vertical Evacuation From Tsunamis, FEMA P646																

○算定式(c)：

(c) 水谷らの評価式^{※4}
 津波により漂流するコンテナの衝突力を次式の通り提案している。

$$F_m = 2 \rho_w \eta_m B_c V_x^2 + (WV_x / gdt)$$
 ここに、 F_m ：漂流衝突力 (kN)
 dt ：衝突時間 (s)
 η_m ：最大遡上水位 (m)
 ρ_w ：水の密度 (t/m³)
 B_c ：コンテナ幅 (m)
 V_x ：コンテナの漂流速度 (m/s)
 W ：コンテナ重量 (kN)
 g ：重力加速度
 ※4 水谷法美・高木祐介・白石和陸・宮島正悟・富田孝史 (2005) エプロン上のコンテナに作用する津波波力と漂流衝突力に関する研究, 海岸工学論文集, 第 52 巻, pp. 741-745

○算定式(d)：

(d) 有川らの評価式^{※5}
 コンクリート構造物に鋼構造物(コンテナ等)が漂流衝突する際の衝突力を次式の通り提案している。

$$F = \gamma_p \chi^{2/5} \left\{ (5/4)m \right\}^{3/5} v^{6/5}$$

$$\chi = \left\{ 4\sqrt{a} / 3\pi \right\} \left\{ 1 / (k_1 + k_2) \right\}$$

$$k = (1 - v^2) / (\pi E)$$

$$m = (m_1 m_2) / (m_1 + m_2)$$
 ここに、 F ：衝突力
 a ：衝突面半径の 1/2
 (コンテナ衝突面の縦横長さの平均の 1/4)
 E ：ヤング率 (コンクリート板)
 v ：ポアソン比
 m ：質量
 v ：衝突速度
 γ_p ：塑性によるエネルギー減衰効果 (0.25)
 m や k の添え字は衝突体と被衝突体を示す。
 ※5 有川太郎・大坪大輔・中野史丈・下迫健一郎・石川信隆 (2007) 遡上津波によるコンテナ漂流力に関する大規模実

東海第二発電所 (2018. 9. 12 版)	女川原子力発電所 2号炉 (2019. 11. 6 版)	島根原子力発電所 2号炉	備考
	<p>5. 評価すべき漂流物の設定</p> <p>各津波防護施設の漂流物の衝突荷重として考慮する漂流物及び衝突速度については、各津波防護施設の構造や設置位置、さらに基準津波の流向・流速等の特徴を適切に考慮した上で、津波防護施設ごとに設定するものとする。非常用海水ポンプの取水性では、取水口の開口部の標高が海水面よりも下降にあることを踏まえ、津波の水位によらず、遠方から時間をかけて発電所に漂流する可能性のある施設・設備を抽出し、取水口の閉塞の可能性を検討したが、漂流物の衝突荷重を検討する際には、漂流速度と流れの向きが荷重に大きく影響することを踏まえ、改めて発電所周辺での流速・流向を確認し、衝突対象とする漂流物を抽出することとする。</p> <p>具体的には、以下の事項を考慮して、発電所敷地内及び敷地前面海域に設置されている施設・設備の中から適切に衝突対象とする漂流物を抽出する方針である。</p> <ul style="list-style-type: none"> ・ 基準津波は、第一波の水位が高く、流速も大きいことから、第一波により漂流したものが被衝突物（津波防護施設等）へ与える影響（荷重）が大きい。 	<p>験, 海岸工学論文集, 第 54 巻, pp. 846-850</p> <p>○算定式(e) :</p> <p>(e) FEMA の評価式^{※6}</p> <p>漂流物による衝突力を正確に評価するのは困難としながら、以下の式を一例として示している。</p> $F_i = 1.3u_{\max}\sqrt{\{km(1+c)\}}$ <p>ここに、F_i : 衝突力 (kN)</p> <p>u_{\max} : 最大流速 (m/s)</p> <p>m : 漂流物の質量</p> <p>c : 付加質量係数</p> <p>k : 漂流物の有効剛性 (kN/m²)</p> <p>※6 FEMA (2012) Guidelines for Design of Structures for Vertical Evacuation fromTsunamis Second Edition, FEMA P-646.</p> <p>5. 基準津波の特性(流向・流速)</p> <p><u>漂流物の衝突荷重算定に用いる流速は、津波の流速に支配されることから、漂流物の漂流速度として津波の流速を用いる。</u></p> <p><u>平面二次元津波シミュレーション結果より、島根原子力発電所の津波防護施設に対して、日本海東縁部に想定される地震による津波（基準津波1）及び海域活断層から想定される地震による津波（基準津波4）における津波高さ及び流況（流向・流速）を確認した。</u></p> <p><u>日本海東縁部に想定される地震による津波（基準津波1）に対して入力津波高さはEL. +11.9m、海域活断層から想定される地震による津波（海域活断層上昇側最大ケース[※]）に対して入力津波高さはEL. +4.2mである。</u></p> <p><u>ここで、施設護岸港湾内及び港湾外の防波壁前面における、最大流速発生時の流況確認結果を表-2に示す。</u></p> <p><u>※海域活断層上昇側最大ケースの津波は、基準津波4が水位下降側の津波として策定したものであることを踏まえ、津波の到達有無を評価したうえで、津波荷重と余震荷重の組合せの要否を判断するために設定したものであり、施設護岸又は防波壁において海域活断層から想定される地震による津波の最大水位を示す。</u></p>	<p>・検討方針の相違による記載内容の相違</p> <p>【女川2】</p>

表-2 最大流速発生時の流況

	対象箇所*1	基準津波*1	流向*1	最大流速*1	発生時刻
日本海東縁部に想定される地震による津波 (基準津波1)	施設護岸港湾外防波堤前面	基準津波1 (防波堤あり)	南	9.0m/s	181分27.10秒
	施設護岸港湾内防波堤前面	基準津波1 (防波堤なし)	南東	9.0m/s	192分40.85秒
海域活断層から想定される地震による津波 (基準津波4)	施設護岸港湾外防波堤前面	基準津波4 (防波堤あり)	南西	3.3m/s	5分47.25秒
	施設護岸港湾内防波堤前面	基準津波4 (防波堤なし)	東・南東*2	2.4m/s	7分22.30秒

※1 5条-別添1-添付18「漂流物の評価において考慮する津波の流速・流向について」参照
 ※2 代表として流向が東のケースについて、水位分布と流向・流速ベクトル図及び流速分布図を示す。

表-2に示す各対象箇所の最大流速発生時刻近傍 (最大時刻, 最大時刻前後 30 秒) における水位分布と流向・流速ベクトル図, 及び最大流速発生時刻における流速分布図を図-1～1.6に示す。

【基準津波1 (防波堤あり) 施設護岸港湾外防波堤前面】

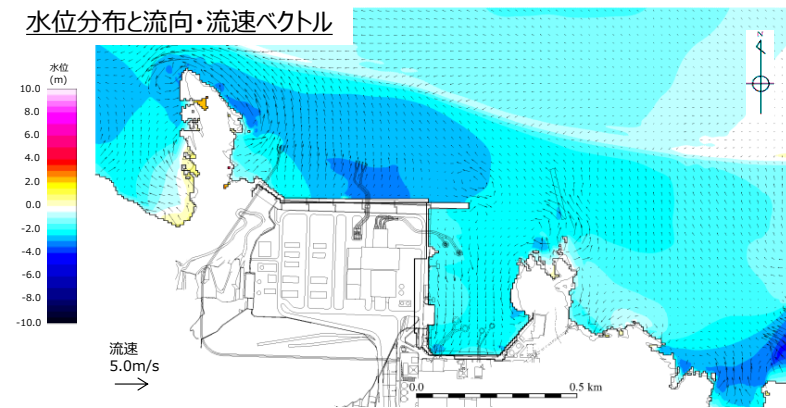


図-1 水位分布と流向・流速ベクトル(180分 57.10秒: 最大流速発生時刻-30秒)

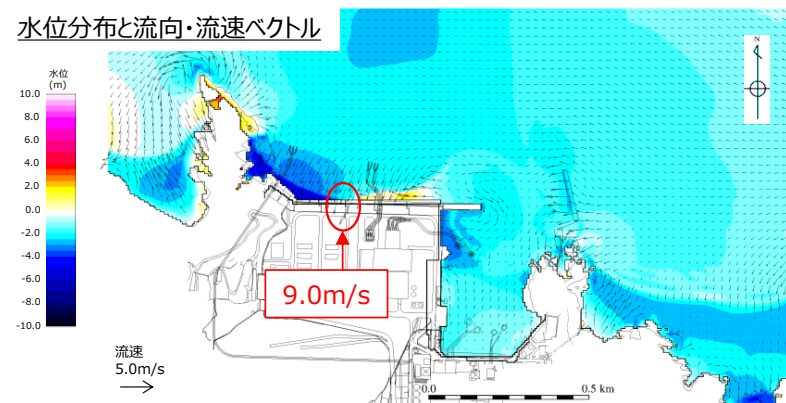


図-2 水位分布と流向・流速ベクトル(181分 27.10秒: 最大流速発生時刻)

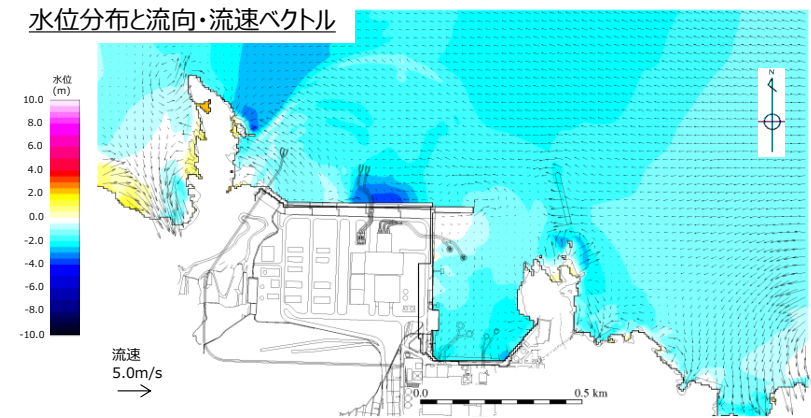


図-3 水位分布と流向・流速ベクトル(181分 57.10秒:最大流速発生時刻+30秒)

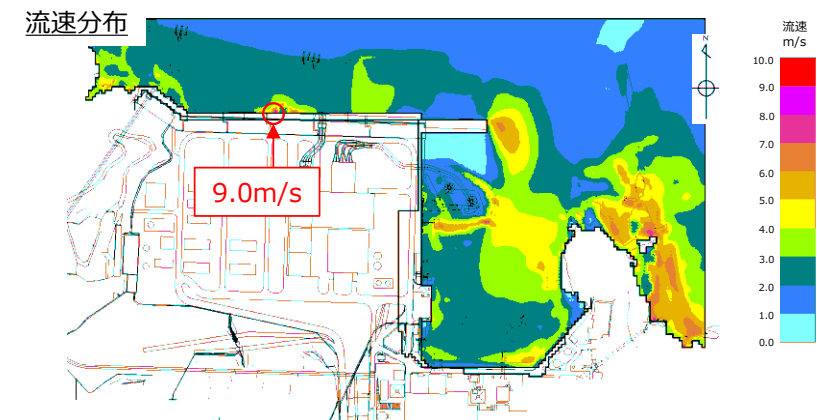


図-4 流速分布_南方向(181分 27.10秒:最大流速発生時刻)

【基準津波 1(防波堤なし)_施設護岸港湾内防波壁前面】

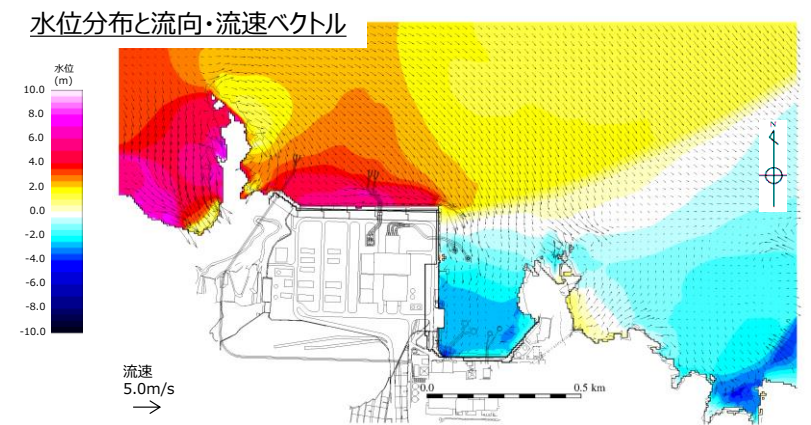


図-5 水位分布と流向・流速ベクトル(192分 10.85秒:最大流速発生時刻-30秒)

水位分布と流向・流速ベクトル

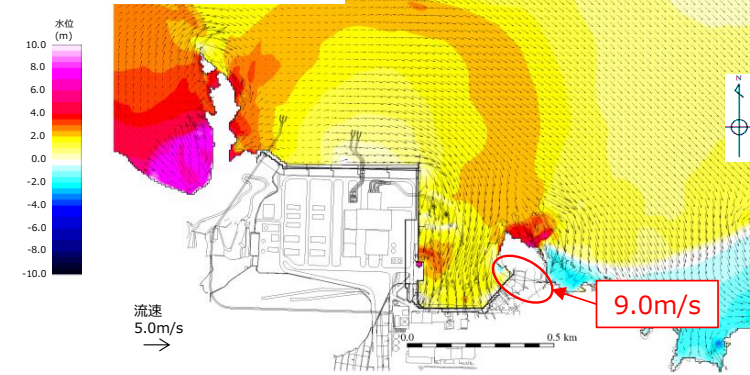


図-6 水位分布と流向・流速ベクトル(192分40.85秒:最大流速発生時刻)

水位分布と流向・流速ベクトル

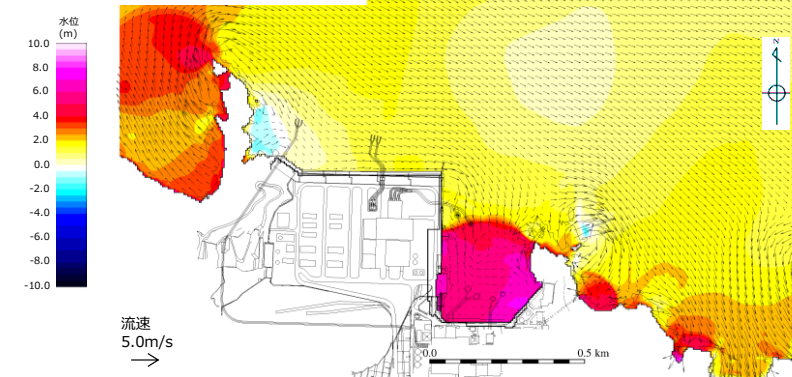


図-7 水位分布と流向・流速ベクトル(193分10.85秒:最大流速発生時刻+30秒)

流速分布

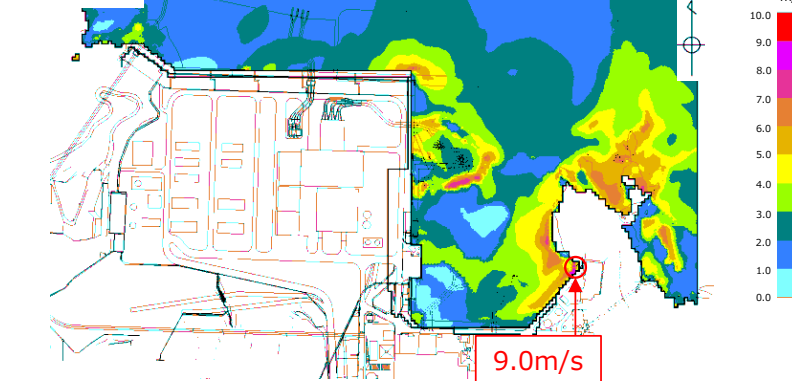


図-8 流速分布_南東方向(192分40.85秒:最大流速発生時刻)

【基準津波 4(防波堤あり) 施設護岸港湾外防波壁前面】

水位分布と流向・流速ベクトル

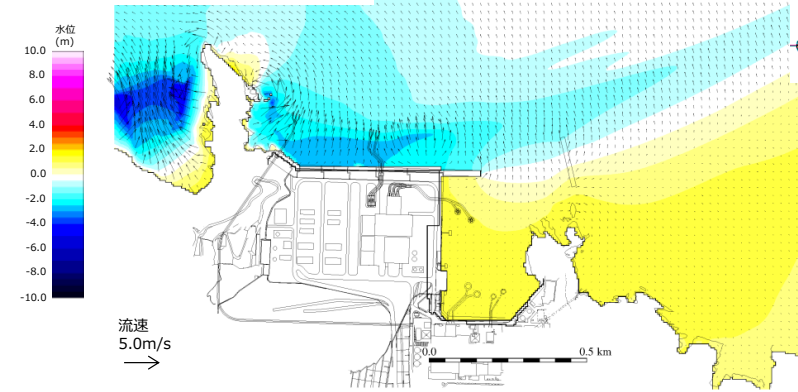


図-9 水位分布と流向・流速ベクトル(5分 17.25 秒：最大流速発生時刻-30 秒)

水位分布と流向・流速ベクトル

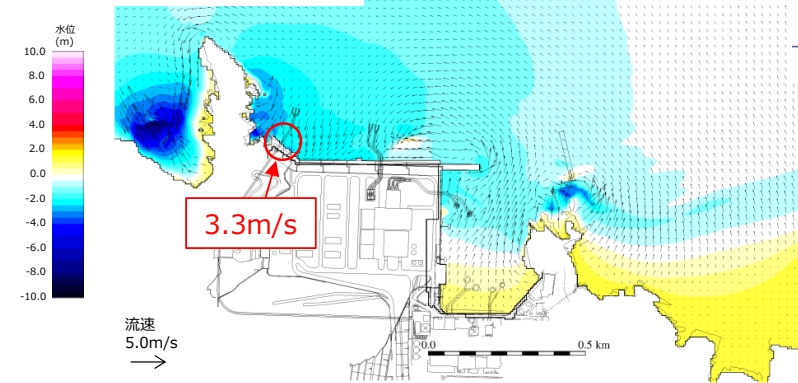


図-10 水位分布と流向・流速ベクトル(5分 47.25 秒：最大流速発生時刻)

水位分布と流向・流速ベクトル

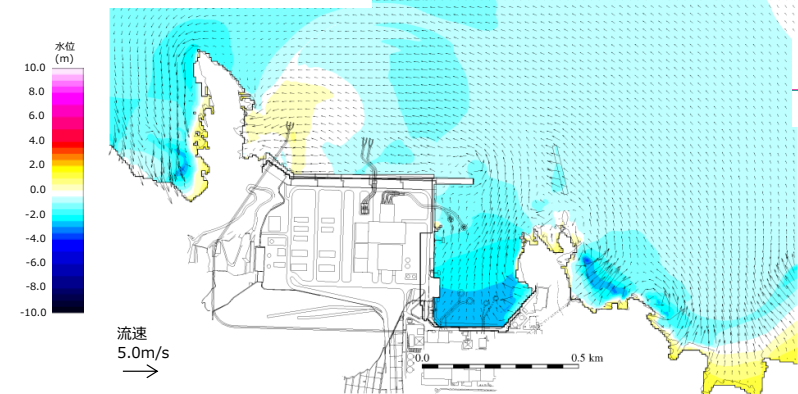


図-11 水位分布と流向・流速ベクトル(6分 17.25 秒：最大流速発生時刻+30 秒)

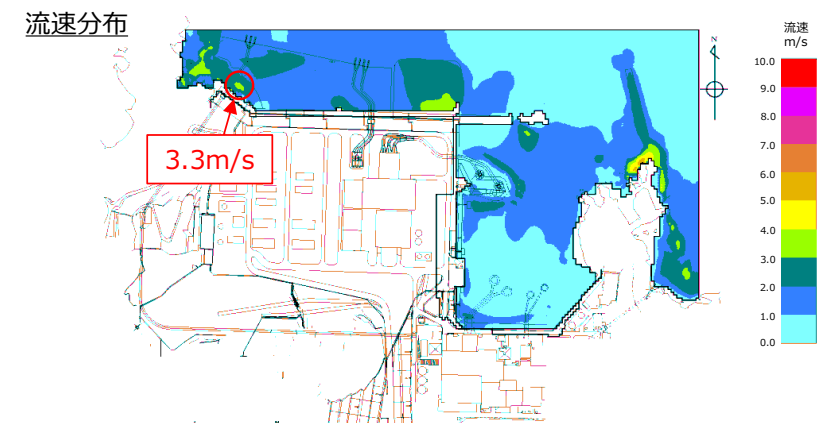


図-1 2 流速分布_南西方向(5分 47.25 秒 : 最大流速発生時刻)

【基準津波 4(防波堤なし)_施設護岸港湾内防波壁前面】

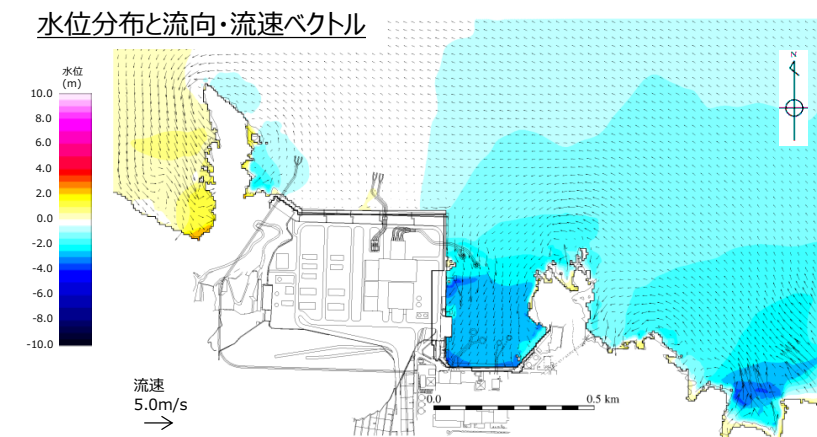


図-1 3 水位分布と流向・流速ベクトル(6分 52.30 秒 : 最大流速発生時刻-30 秒)

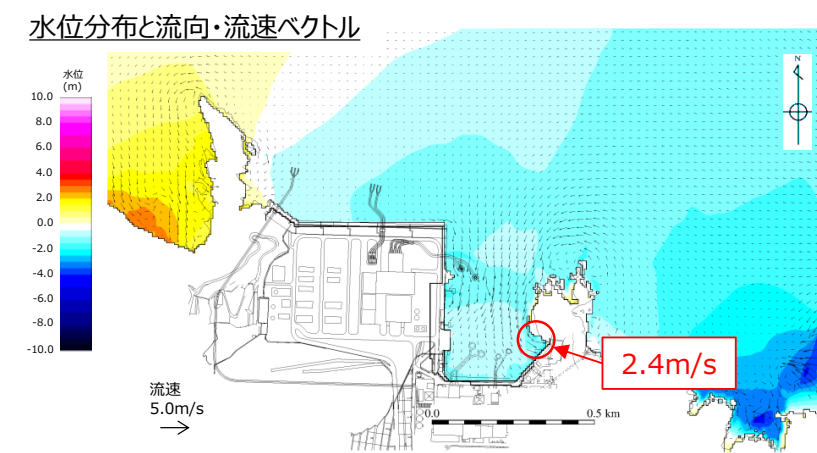


図-1 4 水位分布と流向・流速ベクトル(7分 22.30 秒 : 最大流速発生時刻)

水位分布と流向・流速ベクトル

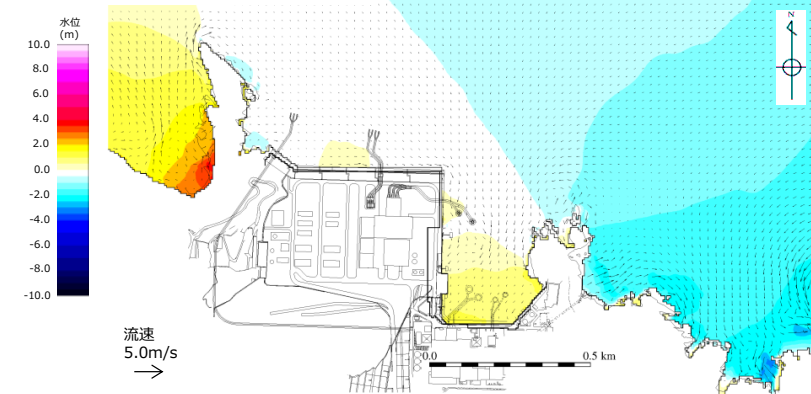


図-15 水位分布と流向・流速ベクトル(7分52.30秒:最大流速発生時刻+30秒)

流速分布

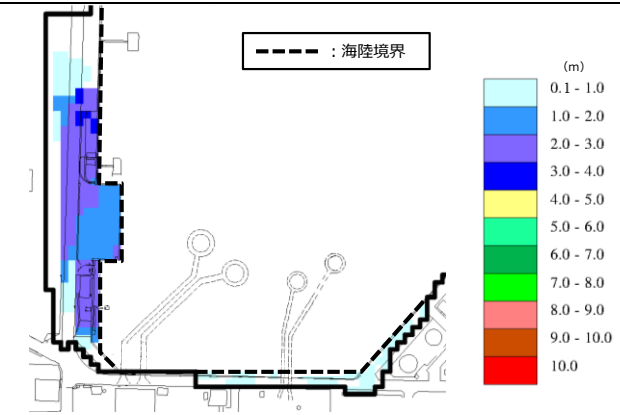


図-16 流速分布_東方向(7分22.30秒:最大流速発生時刻)

また、日本海東縁部に想定される地震による津波(基準津波1)に対して、保守的に荷揚場周辺を沈下(防波壁前面を一律1m沈下させる)させた場合の荷揚場付近の最大浸水深分布[※]を図-17に示す。

荷揚場周辺における流速評価結果を表-3に示しており、遡上域における最大流速を示す地点における8.0m/sを超える時間は極めて短い(1秒以下である)が、最大流速は11.9m/s[※]が確認された。

※ 5条-別添1-添付31「施設護岸の漂流物評価における遡上域の範囲及び流速について」参照



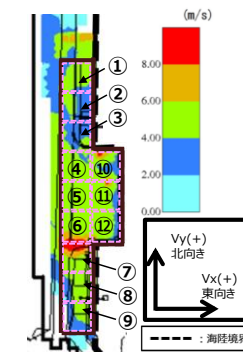
基準津波 1 (防波堤無し)

図-17 荷揚場付近の最大浸水分布

表-3 荷揚場周辺における流速評価結果

地点	Vx方向 最大流速 (m/s)	Vy方向 最大流速 (m/s)	全方向最大流速(m/s)		
			Vx方向 流速	Vy方向 流速	全方向流速 ($\sqrt{Vx^2+Vy^2}$)
1	-4.2	2.1	-4.2	1.9	4.6
2	-4.0	2.5	-4.0	1.4	4.2
3	-6.7	2.1	-6.7	-0.8	6.8
4	-3.6	3.7	-3.2	3.4	4.6
5	-3.6	3.8	-3.6	3.7	5.1
6	-5.5	4.1	-5.5	2.7	6.1
7	-11.8	3.4	-11.8	1.1	11.9
8	-5.3	1.5	-5.3	1.3	5.4
9	-5.9	1.9	-5.9	1.6	6.1
10	4.8	-7.6	4.8	-7.6	9.0
11	-8.9	2.5	-8.9	-1.2	9.0
12	-2.7	5.1	-1.4	5.1	5.3

(切上げの関係で値があわない場合がある)



6. 対象漂流物の配置位置及び種類等

日本海東縁部に想定される地震による津波及び海域活断層から想定される地震による津波に対する津波防護施設の評価において、基本とする設計条件として設定する対象漂流物とその配置及び船舶の操業エリアを表-4、表-5、図-18及び図-19に示す。また、津波防護施設における漂流物配置を図-20に示す。

対象漂流物のうち漁船については、基本とする設計条件に加え、島根原子力発電所周辺海域で操業する漁船の漁業法の制限等を踏まえて漁船の総トン数、操業区域及び航行の不確かさを考慮し、津波防護施設の評価に総トン数19トンの漁船を対象とする。また、施設護岸から500m以遠で操業及び航行する漁船については、漂流物となった場合においても、施設護岸から500m位置に

・検討方針の相違による
記載内容の相違

【東海第二、女川2】

おける流速が 1m/s 程度と小さいこと等から施設護岸に到達する可能性は十分に小さいが、仮に 500m 以遠から津波防護施設に衝突する場合の影響について確認する。

漂流物の津波防護施設への到達可能性については、「2.5.2 (3) 基準津波に伴う取水口付近の漂流物に対する取水性確保」参照。

表-4 津波防護施設に考慮する漂流物について

津波防護施設	基本とする設計条件として設定する対象漂流物		不確かさを考慮した設計条件として設定する対象漂流物(漁船)	
	日本海東端部に想定される地震による津波	海域活断層から想定される地震による津波	日本海東端部に想定される地震による津波	海域活断層から想定される地震による津波
輪谷湾内に面する津波防護施設 対象：波返重力擁壁(輪谷部) 逆T擁壁 多重鋼管杭式擁壁 防波壁通路防波扉	対象：キャスク取扱収納庫 ^{※1,2} 3トン漁船 種類：鋼製構造物(鋼製) 船舶(FRP製) 質量：約4.3t×2基, 約9t	対象：10トン作業船 ^{※1} 3トン漁船 種類：船舶(FRP製) 質量：約30t, 約9t	対象：19トン漁船 種類：船舶(FRP製) 質量：約57t	
外海に面する津波防護施設 対象：波返重力擁壁(北側)	対象：10トン漁船 種類：船舶(FRP製) 質量：約30t	対象：10トン作業船 ^{※1} 10トン漁船 種類：船舶(FRP製) 質量：約30t		

※1：詳細設計段階において、キャスク取扱収納庫の除去や作業船の変更等の対策を踏まえ、対象漂流物を選定
 ※2：2基が隣接して設置されているため、2基分の衝突を考慮

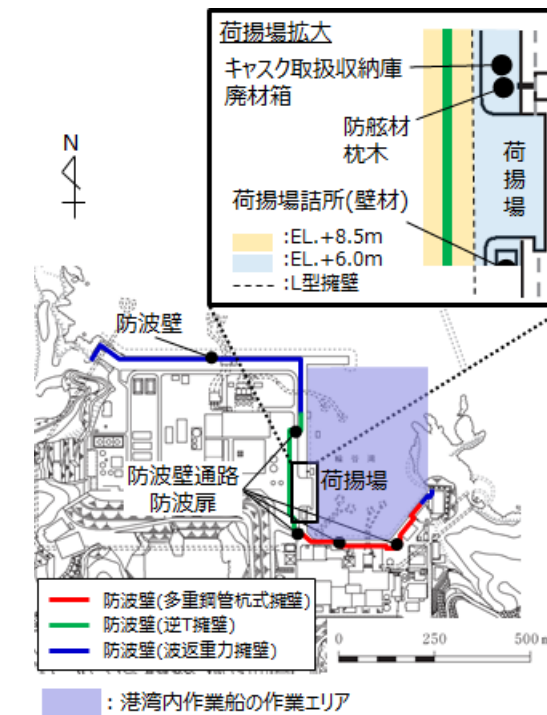


図-18 漂流物の配置
 (港湾内に面する津波防護施設に考慮する)

表-5(1) 発電所沿岸で操業する漁船^{※1}

名称	施設護岸からの距離	目的	漁港	総トン数(質量)	数量(隻)
漁船	約500m以内 ^{※3}	サザエ網・カナギ漁 ^{※2}	片句漁港	1トン未満(3t未満)	13
		サザエ網・採貝藻漁	御津漁港	1トン未満(3t未満)	18
		一本釣り漁		2トン未満(6t未満)	6
		かご漁	1トン未満(3t未満)	13	
	約500m以遠 ^{※3}	わかめ養殖	片句漁港	3トン未満(9t未満)	1
		イカリ釣り漁		1トン未満(3t未満)	7
				5トン未満(15t未満)	7
				8トン未満(24t未満)	3
				10トン未満(30t未満)	3

※1 漂流物調査は、まとめ資料別添1 添付資料15「津波漂流物の調査要領について」に基づき実施。
 ※2 輪谷湾内で総トン数0.4~0.7トンの漁船が年5回程度操業する。
 ※3 施設護岸から500m程度離れた位置では流速が1m/s程度と小さいことを踏まえ、施設護岸から約500m以内と以遠の2つに区分した。

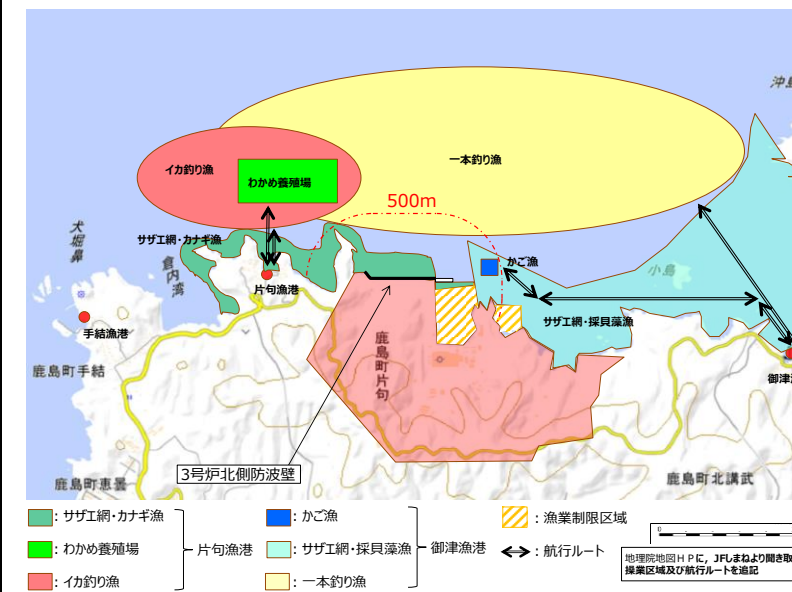


図-19(1) 発電所沿岸で操業する漁船の操業エリア

表-5(2) 発電所沖合で操業する漁船(総トン数10トン以上)^{※1}

名称	目的	漁港	総トン数(質量)	数(隻)
漁船	イカリ釣り漁 ^{※2}	恵曇漁港	約19トン(約57t)	2
	底引き網漁	恵曇漁港	約15トン(約45t)	2
	1本釣り漁	片句漁港	約10トン(約30t)	3
	定置網漁①	恵曇漁港	約10トン(約30t)	1
			約19トン(約57t)	1
定置網漁②	御津漁港	約12トン(約36t)	1	

※1 漂流物調査は、まとめ資料別添1 添付資料15「津波漂流物の調査要領について」に基づき実施。
 ※2 島根県漁業調整規則に基づき、島根県知事が総トン数10トン以上の漁船によるイカリ釣り漁業の操業禁止区域(最大高潮時海岸線から10海里(約18km)内)における操業を禁止)を定めている。(漁業調整規則:漁業法等に基づき、各都道府県知事が定める規則)

東海第二発電所 (2018. 9. 12 版)

女川原子力発電所 2号炉 (2019. 11. 6 版)

島根原子力発電所 2号炉

備考

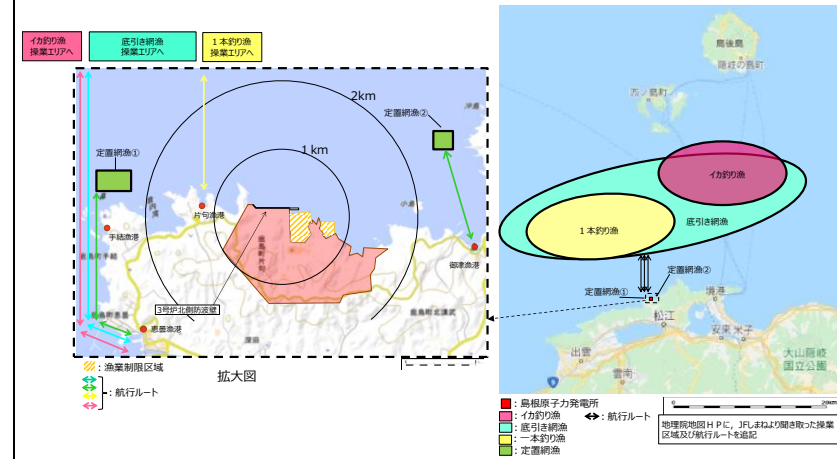


図-19 (2) 発電所沖合で操業する漁船 (総トン数10トン以上) の操業エリア

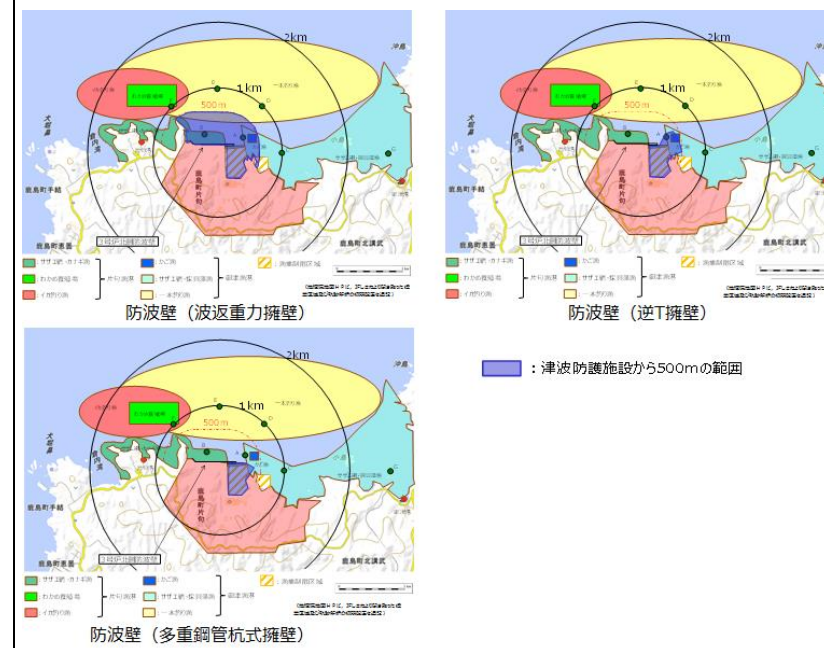
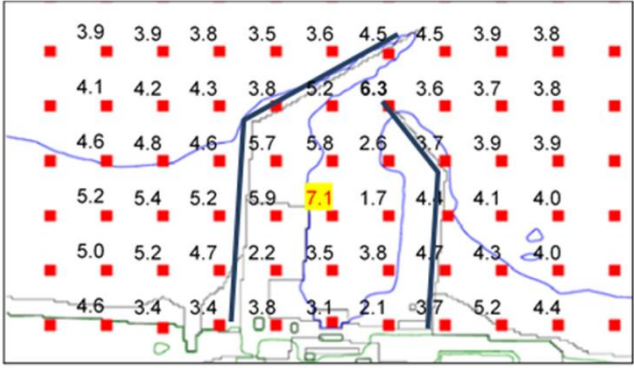


図-20 津波防護施設における漂流物配置

東海第二発電所 (2018.9.12 版)	女川原子力発電所 2号炉 (2019.11.6 版)	島根原子力発電所 2号炉	備考																																
<p>5. 漂流物の衝突荷重算定式の選定</p> <p>既往の知見によると、さまざまな漂流物の衝突力算定式が提案されていることから、今後その他の衝突荷重の算定式の適用性についても検討し、詳細設計に反映する。</p> <p>ここでは、(財)沿岸技術研究センター及び国土交通省による検討においても、漁船の衝突荷重の算定については「耐津波設計に係る工認審査ガイド」に記載されている参考規格・基準類のうち、道路橋示方書に示される算定式を採用していることから、道路橋示方書による方法で算定した例について次項より示す。</p> <p>6. 漂流物の評価に考慮する津波の流速</p> <p>津波による漂流物の漂流速度は、津波の流速に支配されることから、漂流速度として津波の流速を用いることとし、流速は津波シミュレーションにより算定する。</p> <p>基準津波に対して、防波堤があるモデル、防波堤がないモデル及び防波堤の耐震評価結果から防波堤を1m沈下させたモデルを用いて津波シミュレーションを実施し、敷地前面海域における表面流速を評価した。それぞれのケースにおける前面海域の最大流速分布を第1図に示す。</p>  <p>(防波堤ありモデル)</p>	<p>6. 漂流物荷重の評価式</p> <p>女川原子力発電所における地形・津波等の特徴、流速や段波・砕波の発生状況、漂流物の性状等から式の適用性を判断した上で評価を実施する。</p>	<p>7. 既往の漂流物荷重算定式の整理</p> <p>漂流物荷重算定式は、運動量理論に基づく推定式や実験に基づく推定式等があり、対象漂流物の種類や仕様により適用性が異なるため、既往の荷重算定式を整理した。ここで、表-6に算定式のまとめ一覧を示す。</p> <p>表-6 漂流物荷重算定式のまとめ</p> <table border="1" data-bbox="1789 575 2472 1799"> <thead> <tr> <th>出典</th> <th>種類</th> <th>概要</th> <th>算定式の根拠 (実験条件)</th> </tr> </thead> <tbody> <tr> <td>① 松倉ほか (1999)</td> <td>流木</td> <td>津波による流木の衝突力を提案している。本式は円柱形状の流木が縦向きに衝突する場合の衝突力評価式である。</td> <td>「実験に基づく推定式」 ・見かけの質量係数に関する水路実験 ・衝突荷重に関する空中での実験 ・水理模型実験及び空中衝突実験において、流木(楕円形ではない丸木)を被衝突体の前面(2.5m以内)に設置した状態で衝突させている。</td> </tr> <tr> <td>② 池野・田中 (2003)</td> <td>流木</td> <td>円柱以外にも角柱、球の形状をした木材による衝突力を提案している。</td> <td>「実験に基づく推定式」(縮尺1/100の模型実験)受圧板を陸上構造物と想定し、衝突体を受圧板前面80cm(現地換算80m)離れた位置に設置した状態で衝突させた実験である。模型縮尺(1/100)を考慮した場合、現地換算で直径2.6~8mの仮定となる。</td> </tr> <tr> <td>③ 道路橋示方書 (2002)</td> <td>流木等</td> <td>橋(橋脚)に自動車、流木あるいは船舶等が衝突する場合の衝突力を定めている。</td> <td>漂流物が落下(漂流)してきた場合に表面流速(津波流速)を与えることで漂流流速に対する荷重を算定できる。</td> </tr> <tr> <td>④ 津波漂流物対策施設設計ガイドライン (2014)</td> <td>漁船等</td> <td>漁船の仮想重量と漂流物流速から衝突エネルギーを提案している。</td> <td>「海港・漁場の施設の設計の手引」(2003)に記載されている、接岸工ネルギーの算定式に対し、接岸速度を漂流物速度とすることで、衝突エネルギーを算定。</td> </tr> <tr> <td>⑤ FEMA (2012)</td> <td>流木・コンテナ</td> <td>漂流物による衝突力を正確に評価するのは困難としながら、一例として評価式を示している。</td> <td>「運動方程式に基づく衝突力方程式」非減衰系の振動方程式に基づいており、衝突体及び被衝突体の両方とも完全弾性体としている。</td> </tr> <tr> <td>⑥ 水谷ほか (2005)</td> <td>コンテナ</td> <td>津波により漂流するコンテナの衝突力を提案している。</td> <td>「実験に基づく推定式」(縮尺1/75の模型実験)使用コンテナ:長さ20ftと40ft,コンテナ重量:0.2N~1.3N程度 遡上流速:1.0m/s以下,材質:アクリル</td> </tr> <tr> <td>⑦ 有川ほか (2007)</td> <td>流木・コンテナ</td> <td>コンクリート構造物に鋼製構造物(コンテナ等)が漂流衝突する際の衝突力を提案している。</td> <td>「接触理論に基づく推定式」(縮尺1/5の模型実験)使用コンテナ:長さ1.21m,高さ0.52m,幅0.49m 衝突速度:1.0~2.5m/s程度,材質:鋼製</td> </tr> </tbody> </table>	出典	種類	概要	算定式の根拠 (実験条件)	① 松倉ほか (1999)	流木	津波による流木の衝突力を提案している。本式は円柱形状の流木が縦向きに衝突する場合の衝突力評価式である。	「実験に基づく推定式」 ・見かけの質量係数に関する水路実験 ・衝突荷重に関する空中での実験 ・水理模型実験及び空中衝突実験において、流木(楕円形ではない丸木)を被衝突体の前面(2.5m以内)に設置した状態で衝突させている。	② 池野・田中 (2003)	流木	円柱以外にも角柱、球の形状をした木材による衝突力を提案している。	「実験に基づく推定式」(縮尺1/100の模型実験)受圧板を陸上構造物と想定し、衝突体を受圧板前面80cm(現地換算80m)離れた位置に設置した状態で衝突させた実験である。模型縮尺(1/100)を考慮した場合、現地換算で直径2.6~8mの仮定となる。	③ 道路橋示方書 (2002)	流木等	橋(橋脚)に自動車、流木あるいは船舶等が衝突する場合の衝突力を定めている。	漂流物が落下(漂流)してきた場合に表面流速(津波流速)を与えることで漂流流速に対する荷重を算定できる。	④ 津波漂流物対策施設設計ガイドライン (2014)	漁船等	漁船の仮想重量と漂流物流速から衝突エネルギーを提案している。	「海港・漁場の施設の設計の手引」(2003)に記載されている、接岸工ネルギーの算定式に対し、接岸速度を漂流物速度とすることで、衝突エネルギーを算定。	⑤ FEMA (2012)	流木・コンテナ	漂流物による衝突力を正確に評価するのは困難としながら、一例として評価式を示している。	「運動方程式に基づく衝突力方程式」非減衰系の振動方程式に基づいており、衝突体及び被衝突体の両方とも完全弾性体としている。	⑥ 水谷ほか (2005)	コンテナ	津波により漂流するコンテナの衝突力を提案している。	「実験に基づく推定式」(縮尺1/75の模型実験)使用コンテナ:長さ20ftと40ft,コンテナ重量:0.2N~1.3N程度 遡上流速:1.0m/s以下,材質:アクリル	⑦ 有川ほか (2007)	流木・コンテナ	コンクリート構造物に鋼製構造物(コンテナ等)が漂流衝突する際の衝突力を提案している。	「接触理論に基づく推定式」(縮尺1/5の模型実験)使用コンテナ:長さ1.21m,高さ0.52m,幅0.49m 衝突速度:1.0~2.5m/s程度,材質:鋼製	<p>・検討方針の相違による記載内容の相違</p> <p>【東海第二, 女川2】</p>
出典	種類	概要	算定式の根拠 (実験条件)																																
① 松倉ほか (1999)	流木	津波による流木の衝突力を提案している。本式は円柱形状の流木が縦向きに衝突する場合の衝突力評価式である。	「実験に基づく推定式」 ・見かけの質量係数に関する水路実験 ・衝突荷重に関する空中での実験 ・水理模型実験及び空中衝突実験において、流木(楕円形ではない丸木)を被衝突体の前面(2.5m以内)に設置した状態で衝突させている。																																
② 池野・田中 (2003)	流木	円柱以外にも角柱、球の形状をした木材による衝突力を提案している。	「実験に基づく推定式」(縮尺1/100の模型実験)受圧板を陸上構造物と想定し、衝突体を受圧板前面80cm(現地換算80m)離れた位置に設置した状態で衝突させた実験である。模型縮尺(1/100)を考慮した場合、現地換算で直径2.6~8mの仮定となる。																																
③ 道路橋示方書 (2002)	流木等	橋(橋脚)に自動車、流木あるいは船舶等が衝突する場合の衝突力を定めている。	漂流物が落下(漂流)してきた場合に表面流速(津波流速)を与えることで漂流流速に対する荷重を算定できる。																																
④ 津波漂流物対策施設設計ガイドライン (2014)	漁船等	漁船の仮想重量と漂流物流速から衝突エネルギーを提案している。	「海港・漁場の施設の設計の手引」(2003)に記載されている、接岸工ネルギーの算定式に対し、接岸速度を漂流物速度とすることで、衝突エネルギーを算定。																																
⑤ FEMA (2012)	流木・コンテナ	漂流物による衝突力を正確に評価するのは困難としながら、一例として評価式を示している。	「運動方程式に基づく衝突力方程式」非減衰系の振動方程式に基づいており、衝突体及び被衝突体の両方とも完全弾性体としている。																																
⑥ 水谷ほか (2005)	コンテナ	津波により漂流するコンテナの衝突力を提案している。	「実験に基づく推定式」(縮尺1/75の模型実験)使用コンテナ:長さ20ftと40ft,コンテナ重量:0.2N~1.3N程度 遡上流速:1.0m/s以下,材質:アクリル																																
⑦ 有川ほか (2007)	流木・コンテナ	コンクリート構造物に鋼製構造物(コンテナ等)が漂流衝突する際の衝突力を提案している。	「接触理論に基づく推定式」(縮尺1/5の模型実験)使用コンテナ:長さ1.21m,高さ0.52m,幅0.49m 衝突速度:1.0~2.5m/s程度,材質:鋼製																																

東海第二発電所 (2018. 9. 12 版)	女川原子力発電所 2号炉 (2019. 11. 6 版)	島根原子力発電所 2号炉	備考										
 <p>(防波堤なしモデル)</p> <p>(防波堤 1 m 沈下モデル)</p> <p>第 1 図 前面海域の最大流速分布図</p>		<p>8. 詳細設計段階における漂流物衝突荷重の設定方針</p> <p>漂流物衝突荷重（以下、衝突荷重）については、漂流物が津波と遭遇する位置や漂流物の種類・仕様が衝突荷重の大きさに関係することから、詳細設計段階において以下のとおり検討する。</p> <ul style="list-style-type: none"> ▶津波防護施設の評価において、基本とする設計条件として設定する対象漂流物は、漂流物評価結果及び対策等を踏まえて決定する。 ▶衝突荷重の算定に当たっては、漂流物の位置、種類、仕様、ソリトン分裂波・砕波の発生の有無等に応じて、既往の衝突荷重の算定式や非線形構造解析を適切に選定する。 ▶衝突荷重の主な影響因子として、「対象漂流物、衝突速度、衝突位置、荷重組合せ」を抽出した。衝突荷重の評価に当たっては、表-7のとおり設計上の考慮を行う。 <p>表-7 詳細設計段階における設計上の考慮</p> <table border="1" data-bbox="1736 913 2493 1449"> <thead> <tr> <th>影響因子</th> <th>詳細設計段階における設計上の考慮</th> </tr> </thead> <tbody> <tr> <td>対象漂流物</td> <td>・対象漂流物のうち漁船については、基本とする設計条件に加え、島根原子力発電所周辺海域で操業する漁船の漁業法の制限等を踏まえた漁船の総トン数、操業区域及び航行の不確かさを考慮して、総トン数19トンの漁船を対象とする（表-4参照）。</td> </tr> <tr> <td>衝突速度</td> <td>・衝突荷重算定に用いる衝突速度は、津波防護施設に対する直交方向の最大流速より設定する。日本海東縁部に想定される地震による津波では、最大流速（0.4m/s～9.0m/s）から最大値9.0m/sを抽出し、全線にわたり安全側に10.0m/sとする。なお、荷揚場周辺においては、遡上する津波の継続時間や流向等を考慮して11.9m/sを用いる。また、海域活断層から想定される地震による津波では、最大流速（0.1m/s～3.3m/s）から最大値3.3m/sを抽出し、全線にわたり安全側に4.0m/sとする（表-2,3参照）。</td> </tr> <tr> <td>衝突位置（標高）</td> <td>・衝突荷重が作用する位置は、津波防護施設全線において安全側に最大津波高さ（入力津波高さに高潮ハザードの裕度を加えた高さ含む）を用いる。なお、海域活断層から想定される地震による津波においては、入力津波高さで深の防波壁の部位においても漂流物が衝突するものとして照査する。</td> </tr> <tr> <td>荷重組合せ</td> <td>・不確かさを考慮した漂流物についても、最大津波流速と津波高さを組合せて衝突荷重を算定する。 ・衝突荷重と津波荷重の最大荷重が同時に作用する組合せとする。</td> </tr> </tbody> </table>	影響因子	詳細設計段階における設計上の考慮	対象漂流物	・対象漂流物のうち漁船については、基本とする設計条件に加え、島根原子力発電所周辺海域で操業する漁船の漁業法の制限等を踏まえた漁船の総トン数、操業区域及び航行の不確かさを考慮して、総トン数19トンの漁船を対象とする（表-4参照）。	衝突速度	・衝突荷重算定に用いる衝突速度は、津波防護施設に対する直交方向の最大流速より設定する。日本海東縁部に想定される地震による津波では、最大流速（0.4m/s～9.0m/s）から最大値9.0m/sを抽出し、全線にわたり安全側に10.0m/sとする。なお、荷揚場周辺においては、遡上する津波の継続時間や流向等を考慮して11.9m/sを用いる。また、海域活断層から想定される地震による津波では、最大流速（0.1m/s～3.3m/s）から最大値3.3m/sを抽出し、全線にわたり安全側に4.0m/sとする（表-2,3参照）。	衝突位置（標高）	・衝突荷重が作用する位置は、津波防護施設全線において安全側に最大津波高さ（入力津波高さに高潮ハザードの裕度を加えた高さ含む）を用いる。なお、海域活断層から想定される地震による津波においては、入力津波高さで深の防波壁の部位においても漂流物が衝突するものとして照査する。	荷重組合せ	・不確かさを考慮した漂流物についても、最大津波流速と津波高さを組合せて衝突荷重を算定する。 ・衝突荷重と津波荷重の最大荷重が同時に作用する組合せとする。	<p>・検討方針の相違による記載内容の相違 【東海第二、女川2】</p>
影響因子	詳細設計段階における設計上の考慮												
対象漂流物	・対象漂流物のうち漁船については、基本とする設計条件に加え、島根原子力発電所周辺海域で操業する漁船の漁業法の制限等を踏まえた漁船の総トン数、操業区域及び航行の不確かさを考慮して、総トン数19トンの漁船を対象とする（表-4参照）。												
衝突速度	・衝突荷重算定に用いる衝突速度は、津波防護施設に対する直交方向の最大流速より設定する。日本海東縁部に想定される地震による津波では、最大流速（0.4m/s～9.0m/s）から最大値9.0m/sを抽出し、全線にわたり安全側に10.0m/sとする。なお、荷揚場周辺においては、遡上する津波の継続時間や流向等を考慮して11.9m/sを用いる。また、海域活断層から想定される地震による津波では、最大流速（0.1m/s～3.3m/s）から最大値3.3m/sを抽出し、全線にわたり安全側に4.0m/sとする（表-2,3参照）。												
衝突位置（標高）	・衝突荷重が作用する位置は、津波防護施設全線において安全側に最大津波高さ（入力津波高さに高潮ハザードの裕度を加えた高さ含む）を用いる。なお、海域活断層から想定される地震による津波においては、入力津波高さで深の防波壁の部位においても漂流物が衝突するものとして照査する。												
荷重組合せ	・不確かさを考慮した漂流物についても、最大津波流速と津波高さを組合せて衝突荷重を算定する。 ・衝突荷重と津波荷重の最大荷重が同時に作用する組合せとする。												
<p>7. 防潮堤に想定する漂流物の衝突荷重（道路橋示方書の例）</p> <p>津波シミュレーションの結果より、前面海域の最大流速は防波堤ありモデルにおいて 7.1m/s、防波堤なしモデルにおいて 6.6m/s、防波堤 1 m 沈下モデルにおいて 6.9m/s であった。</p> <p>上記の最大流速は 7.1m/s であるが、漂流物の評価に考慮する津波の流速は、安全側の設定とし、10m/s とする。</p> <p>また、東海第二発電所で想定する漂流物の最大重量は、15t（排水トン数）の漁船とする。</p> <p>漂流物の衝突荷重については、道路橋示方書による方法の場合は以下の通りとなる。</p> <p>漂流物の衝突荷重 $P = 0.1 \times 15 \times 9.8 \times 10 = 147$ (kN)</p>		<ul style="list-style-type: none"> ▶また、施設護岸から 500m 以遠で操業及び航行する漁船については、漂流物となった場合においても施設護岸に到達する可能性は十分に小さいが、仮に 500m 以遠から津波防護施設に衝突する場合の影響について確認する。 ▶衝突荷重の影響を踏まえ、津波防護施設の各部位の照査の結果、津波防護施設本体の性能目標を維持することを確認し、維持できない場合は漂流物対策を講じる。 											

漂流物対策工を設置する場合は、漂流物衝突荷重を受け持つこと、又は漂流物衝突荷重を軽減・分散させること等が可能な構造とする。

漂流物対策工に期待する効果及び効果を発揮するためのメカニズムを表-8、図-21に示しており、漂流物対策工は、漂流物衝突荷重を踏まえて、各部材を適切に組み合わせて漂流物対策工の仕様を決定する。

表-8 漂流物対策工に期待する効果及び効果を発揮するためのメカニズム

期待する効果	効果を発揮するためのメカニズム	部材 (材質)
・漂流物の衝突荷重を軽減する。	・漂流物が衝突した際に、変形することにより衝突エネルギーを吸収する。	鋼材
・漂流物衝突荷重を受け持つ、又は分散して伝達する。	・漂流物対策工を構成する部材が、漂流物の衝突荷重を受衝することで、漂流物対策工のみで衝突荷重を受け持つ、又は漂流物対策工の構成部材により分散した荷重を背後の津波防護施設本体に伝達する。	鋼材 コンクリート
・漂流物衝突による津波防護施設の局所的な損傷を防止する。	・漂流物を漂流物対策工が受衝することで、津波防護施設まで到達・貫入しない。	鋼材 コンクリート

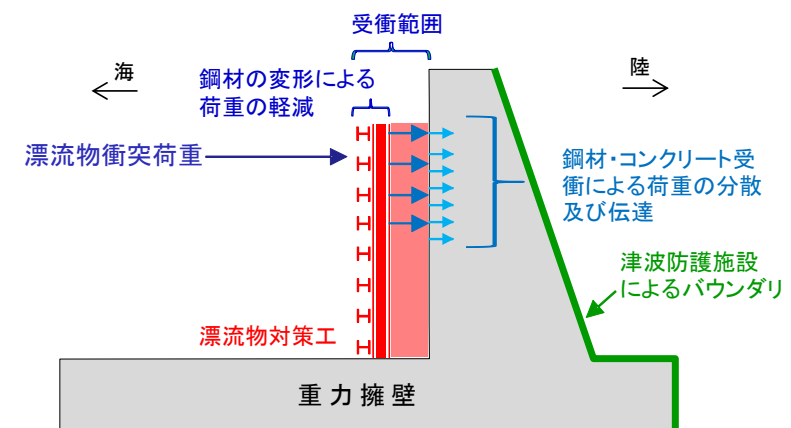


図-21 防波壁 (波返重力擁壁) の漂流物対策工における荷重図 (例)

東海第二発電所 (2018. 9. 12 版)	女川原子力発電所 2号炉 (2019. 11. 6 版)	島根原子力発電所 2号炉	備考								
		<p>漂流物対策工の役割及び設計方針概要を以下に示す。</p> <ul style="list-style-type: none"> ・津波防護施設本体の性能目標である「概ね弾性状態に留まること」を確保するため、<u>漂流物対策工に表-8に記載の効果を期待することとし、漂流物対策工を津波防護施設の一部として位置づける。</u> ・鋼材の性能目標として鋼材が破断しないこと、またコンクリートの性能目標としてコンクリート全体がせん断破壊しないこととする。 ・検討ケースは、荷重の組合せを考慮し、<u>表-9のとおり実施する。</u> <p style="text-align: center;"><u>表-9 漂流物対策工の検討ケース</u></p> <table border="1" data-bbox="1774 793 2439 1121"> <thead> <tr> <th>検討ケース</th> <th>荷重の組合せ※</th> </tr> </thead> <tbody> <tr> <td>地震時</td> <td>常時荷重 + 地震荷重</td> </tr> <tr> <td>津波時</td> <td>常時荷重 + 津波荷重 + 漂流物衝突荷重 (海域活断層から想定される地震による津波においては入力津波高さ以上の防波壁の部位においても漂流物が衝突するものとして照査を実施する。)</td> </tr> <tr> <td>重畳時 (津波 + 余震時)</td> <td>常時荷重 + 津波荷重 + 余震荷重 (海域活断層から想定される地震による津波が到達する防波壁(波返重力擁壁)のケーソン等については、海域活断層から想定される地震による津波に対する評価を実施する)</td> </tr> </tbody> </table> <p style="text-align: center;">※自然現象による荷重(風荷重及び積雪荷重)は設備の設置状況、構造(形状)等の条件を含めて適切に組み合わせを考慮する</p> <ul style="list-style-type: none"> ・詳細設計段階において、津波防護施設本体の性能目標を維持できるよう、<u>漂流物衝突荷重を踏まえて漂流物対策工の仕様を決定する。</u> <p>漂流物衝突時の漂流物対策工の非線形性を考慮するために、<u>3次元FEMモデル等による非線形構造解析等を実施する。</u></p> <p><u>3次元FEMモデルによる漂流物衝突評価の適用性について、審査実績を有する先行サイト(伊方3号炉、美浜3号炉)における衝突評価との比較を行った結果、表-10に示すとおり、解析手法及び衝突物の質量等に有意な差異はないことから、適用性があると判断する。</u></p>	検討ケース	荷重の組合せ※	地震時	常時荷重 + 地震荷重	津波時	常時荷重 + 津波荷重 + 漂流物衝突荷重 (海域活断層から想定される地震による津波においては入力津波高さ以上の防波壁の部位においても漂流物が衝突するものとして照査を実施する。)	重畳時 (津波 + 余震時)	常時荷重 + 津波荷重 + 余震荷重 (海域活断層から想定される地震による津波が到達する防波壁(波返重力擁壁)のケーソン等については、海域活断層から想定される地震による津波に対する評価を実施する)	
検討ケース	荷重の組合せ※										
地震時	常時荷重 + 地震荷重										
津波時	常時荷重 + 津波荷重 + 漂流物衝突荷重 (海域活断層から想定される地震による津波においては入力津波高さ以上の防波壁の部位においても漂流物が衝突するものとして照査を実施する。)										
重畳時 (津波 + 余震時)	常時荷重 + 津波荷重 + 余震荷重 (海域活断層から想定される地震による津波が到達する防波壁(波返重力擁壁)のケーソン等については、海域活断層から想定される地震による津波に対する評価を実施する)										

東海第二発電所 (2018. 9. 12 版)

女川原子力発電所 2号炉 (2019. 11. 6 版)

島根原子力発電所 2号炉

備考

表-10 先行サイトとの比較結果

項目	島根2号炉 漂流物対策工	伊方3号炉 重油タンク	美浜3号炉 海水ポンプエリア 止水壁	先行サイトと島根2号炉との差異	
	津波時における 漂流物衝突検討	竜巻時における飛来 物衝突検討	地震時における移動 式クレーンブーム折損 による衝突検討	先行サイトと島根2号炉との差異	適用性
対象とする事象	津波時における 漂流物衝突検討	竜巻時における飛来 物衝突検討	地震時における移動 式クレーンブーム折損 による衝突検討	事象は異なるものの、衝突荷重による影響検討のため、差異はない。	○
解析手法	非線形構造解析	非線形構造解析 (LS-DYNA)	非線形構造解析 (LS-DYNA)	同様な解析手法を用いるため、差異はない。	○
被衝突物	津波防護施設 及び漂流物対策工 (鋼製及びコンクリート)	重油タンク (鋼製)	止水壁架橋 (鋼製)	被衝突物の材質が一部異なるものの、使用する解析手法は、鋼材だけでなく樹脂にも適用性があることから、島根2号炉への適用性はありと判断する。	○
衝突物	船舶 (FRP)	鋼製材 (SS400)	クレーンブーム (WEL- TEN950RE)	衝突物の材質は異なるものの、使用する解析手法は、鋼材だけでなく樹脂にも適用性があることから、島根2号炉への適用性はありと判断する。	○
衝突物の質量	約30t	135kg	36.2t	審査実績を有する衝突物の質量の範囲内に収まっており、島根2号炉への適用性はありと判断する。	○
衝突物の速度	10m/s	57m/s, 38m/s	約30m/s	審査実績を有する衝突物の速度の範囲内に収まっており、島根2号炉への適用性はありと判断する。	○

※先行サイトの情報に係る記載内容については、会社資料等をもとに弊社の責任において独自に解釈したものです。

漂流物衝突荷重は、対象となる漂流物の位置・仕様及び必要に応じ対策等を踏まえて、既往の漂流物衝突荷重の算定式、又は非線形構造解析を適切に選定して算出し、津波時における静的解析により津波防護施設の照査を実施する。津波防護施設（防波壁:波返重力擁壁）における津波時の検討フロー（例）を図-22に示す。

なお、漂流物対策工は、基準地震動 S_s に対して、構造強度を有することを確認する。

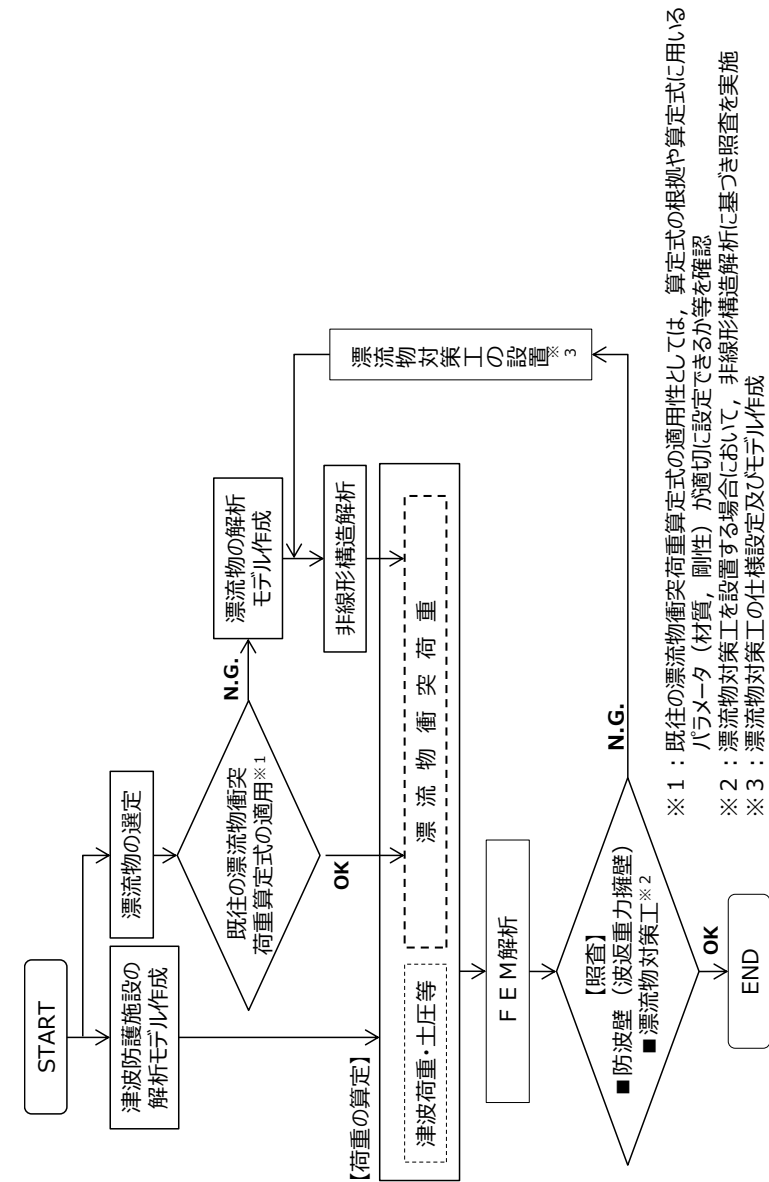


図-22 津波防護施設（防波壁:波返重力擁壁）における津波時の検討フロー（例）

津波防護施設 (防波壁:波返重力擁壁) における漂流物対策工の設計例として、不確かさを考慮した総トン数 19 トンの漁船に対しては、漂流物対策工が必要となると考えており、検討の流れを図-23に示す。

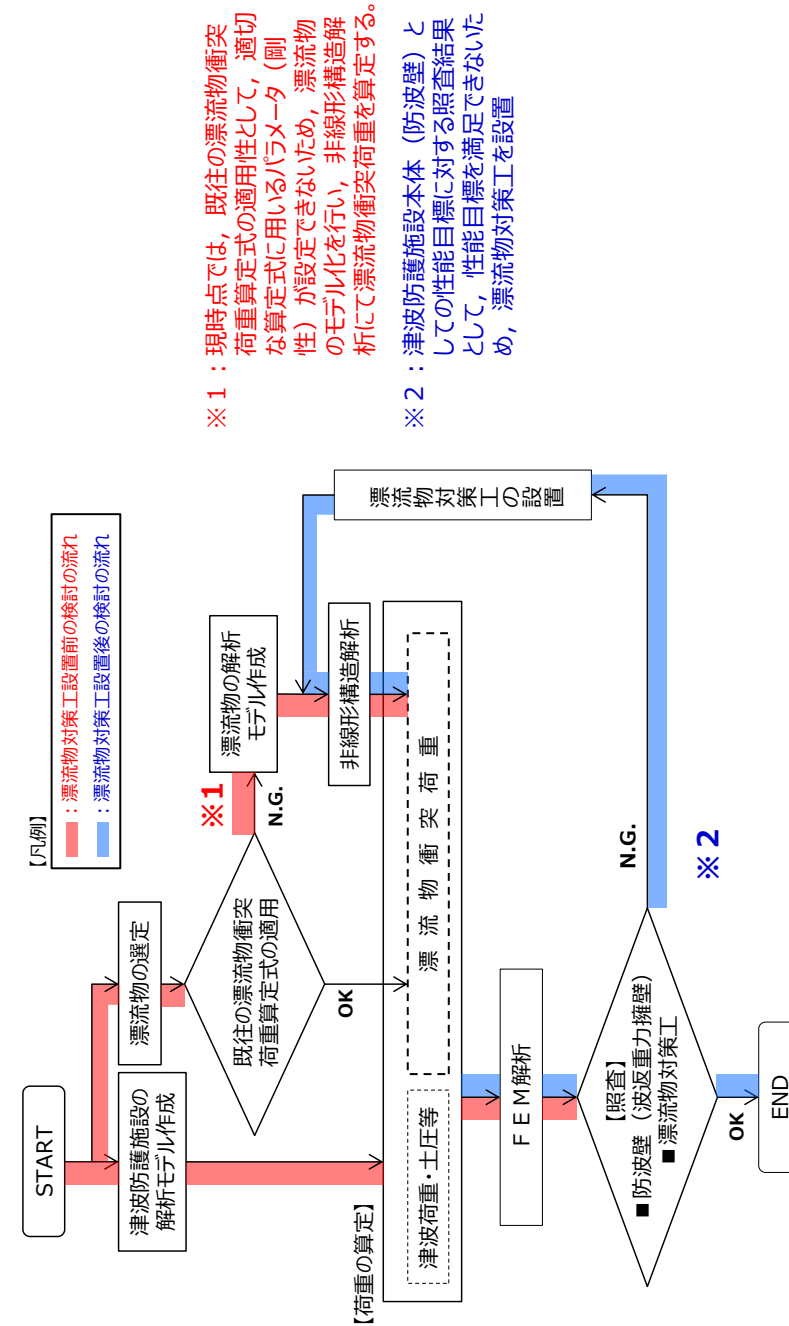


図-23 (例) 津波防護施設 (防波壁:波返重力擁壁) における漂流物対策工に係る検討の流れ

東海第二発電所 (2018. 9. 12 版)	女川原子力発電所 2号炉 (2019. 11. 6 版)	島根原子力発電所 2号炉	備考
		<p>9. 漂流物衝突荷重の設定方針のまとめ</p> <p><u>津波防護施設の評価において、外海に面する津波防護施設に対しては作業船(総トン数10トン)及び漁船(総トン数10トン)を、輪谷湾内に面する津波防護施設に対しては、入力津波高さを考慮し、荷揚場設備(キャスク取扱収納庫約4.3t×2基)、作業船(総トン数10トン)及び漁船(総トン数3トン)を基本とする設計条件として設定する対象漂流物とする。</u></p> <p><u>なお、対象漂流物のうち漁船については、基本とする設計条件に加え、島根原子力発電所周辺海域で操業する漁船の漁業法の制限等を踏まえて漁船の総トン数、操業区域及び航行の不確かさを考慮し、総トン数19トンの漁船を対象とする。</u></p> <p><u>日本海東縁部に想定される地震による津波の津波特性として、施設護岸港湾内及び港湾外の防波壁前面で最大流速9.0m/s(流向:南東・南)が確認されたことから、津波防護施設における津波による漂流物衝突荷重の評価には、安全側に流速10.0m/sを用いる。また、荷揚場周辺の遡上時に最大流速11.9m/sが確認されたことから、遡上する津波の継続時間や流向等を考慮し、最大流速が発生する荷揚場周辺の津波防護施設における漂流物衝突荷重の評価には、流速11.9m/sを用いる。</u></p> <p><u>海域活断層から想定される地震による津波の津波特性として、施設護岸港湾内の防波壁前面で最大流速2.4m/s(流向:東・南東)、港湾外の防波壁前面で最大流速3.3m/s(流向:南西)となることを確認した。以上より、津波防護施設における津波による漂流物衝突荷重の評価には、安全側に流速4.0m/sを用いる。</u></p> <p><u>漂流物衝突荷重について、道路橋示方書を含む既往の算定式とその根拠について整理した。漂流物衝突荷重は、詳細設計段階において、対象となる漂流物の位置・仕様及び必要に応じ対策等を踏まえて、既往の漂流物衝突荷重の算定式、又は非線形構造解析(漂流物衝突評価)にて算定し、津波時における静的解析により津波防護施設の照査を実施する。</u></p> <p><u>漂流物衝突荷重の影響を踏まえ、津波防護施設の各部位の照査の結果、津波防護施設本体の性能目標を維持することを確認し、津波防護施設本体の性能目標を維持できない場合は漂流物対策を講じる。</u></p> <p>津波防護施設における詳細設計段階では、漂流物衝突荷重の</p>	<p>・検討方針の相違による記載内容の相違</p> <p>【東海第二、女川2】</p>

東海第二発電所 (2018. 9. 12 版)	女川原子力発電所 2号炉 (2019. 11. 6 版)	島根原子力発電所 2号炉	備考
		<p>算定に当たり、<u>漂流物衝突荷重の主な影響因子（対象漂流物、衝突速度、衝突位置、荷重組合せ）に対して、設計上の考慮を行う。</u></p> <p><u>また、施設護岸から500m以遠で操業及び航行する漁船については、漂流物となった場合においても施設護岸から500m位置における流速が1m/s程度と小さいこと等から施設護岸に到達する可能性は十分に小さいが、仮に500m以遠から津波防護施設に衝突する場合の影響について確認する。</u></p> <p><u>漂流物調査範囲内の人工構造物（漁船を含む）については、基準適合性維持の観点から漂流物調査を定期的（1回／定期事業者検査）に実施するとともに、津波防護施設への影響評価を実施し、必要に応じて対策を実施する。</u></p>	